Ein und Ausgabe:
Farbmetrisches Drucker-Reflektiv-System FRS09_92a
Daten für jede Farbe:
u^*_d **und Nummer** *Nr.* = **00 .. 15**
Geräte-Benttontext:
u^*_d = 16 Benttoene *o00y, o25y, ..., m50o*
Kontrastreduzierungsfaktor:
c_R = **1.0**

FRS09_92a; adaptierte CIELAB-Daten						
u^*_d	$L^*=L^*_a$	a^*_a	b^*_a	$C^*_{ab,a}$	$h^*_{ab,a}$	u^*_e
o00y	35.06	60.0	44.0	74.4	36	*r16j*
o25y	44.68	47.13	56.9	73.88	50	*r37j*
o50y	54.77	33.62	70.44	78.05	64	*r58j*
o75y	66.84	17.48	86.62	88.37	79	*r79j*
y00l	83.77	−5.17	109.32	109.44	93	*j01g*
y25l	70.71	−24.12	89.19	92.39	105	*j18g*
y50l	60.76	−38.55	73.86	83.32	118	*j36g*
y75l	52.23	−50.92	60.72	79.25	130	*j53g*
l00c	44.13	−62.67	48.24	79.09	142	*j71g*
l50c	49.64	−41.0	−3.61	41.16	185	*g21b*
c00c	52.66	−29.14	−31.99	43.27	228	*g60b*
c50y	38.87	−0.69	−41.67	41.68	269	*g97b*
v00m	14.15	50.3	−59.04	77.57	310	*b34r*
v50m	25.2	63.79	−46.89	79.17	324	*b45r*
m00o	37.37	78.64	−33.5	85.48	337	*b57r*
m50o	36.13	68.67	7.94	69.13	7	*b83r*

FRS09_92a; adaptierte CIELAB-Daten						
Name	$L^*=L^*_a$	a^*_a	b^*_a	$C^*_{ab,a}$	$h^*_{ab,a}$	
O_{Ma}	35.06	60.0	44.0	74.4	36	
Y_{Ma}	83.77	−5.17	109.32	109.44	93	
L_{Ma}	44.13	−62.67	48.24	79.09	142	
C_{Ma}	52.66	−29.14	−31.99	43.27	228	
V_{Ma}	14.15	50.3	−59.04	77.57	310	
M_{Ma}	37.37	78.64	−33.5	85.48	337	
N_{Ma}	8.58	0.0	0.0	0.0	0	
W_{Ma}	92.02	0.0	0.0	0.0	0	
R_{CIE}	39.92	58.74	27.99	65.07	25	
I_{CIE}	81.26	−2.89	71.56	71.62	92	
G_{CIE}	52.23	−42.42	13.6	44.55	162	
B_{CIE}	30.57	1.41	−46.47	46.49	272	

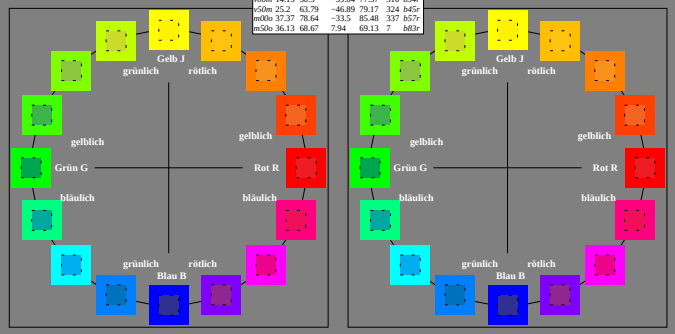

Ein und Ausgabe: Farbmetrisches Drucker-Reflektiv-System FRS09_92, L*=09_92 für relativen CIELAB-Buntton $h^* = lab^*h^* = h_{ab}/360 = 0.101$ $u^*_d = o00y$

Daten für jede Farbe:
*lab*ch** **und** *lab*icu**
Benttontexte:
u^*_d = *o00y* u^*_e = *r16j*
Kontrastreduzierungsfaktor:
c_R = **1.0**
Dreiecks-Helligkeit t^*

FRS09_92a; adaptierte CIELAB-Daten						
u^*_d	$L^*=L^*_a$	a^*_a	b^*_a	$C^*_{ab,a}$	$h^*_{ab,a}$	u^*_e
O_{Ma}	35.06	60.0	44.0	74.4	36	*r16j*
Y_{Ma}	83.77	−5.17	109.32	109.44	93	
L_{Ma}	44.13	−62.67	48.24	79.09	142	
C_{Ma}	52.66	−29.14	−31.99	43.27	228	
V_{Ma}	14.15	50.3	−59.04	77.57	310	
M_{Ma}	37.37	78.64	−33.5	85.48	337	
N_{Ma}	8.58	0.0	0.0	0.0	0	
W_{Ma}	92.02	0.0	0.0	0.0	0	
R_{CIE}	39.92	58.74	27.99	65.07	25	
I_{CIE}	81.26	−2.89	71.56	71.62	92	
G_{CIE}	52.23	−42.42	13.6	44.55	162	
B_{CIE}	30.57	1.41	−46.47	46.49	272	

Daten für Maximalfarbe (Ma):
*LAB*LAB**$_{Ma}$: **35 60 44**
*LAB*LCH**$_{Ma}$: **35 74 36**
*lab*olv**$_{Ma}$: **1.0 0.0 0.0**
*lab*rgb**$_{Ma}$: **1.0 0.16 0.0**
Dreiecks-Helligkeit t^*

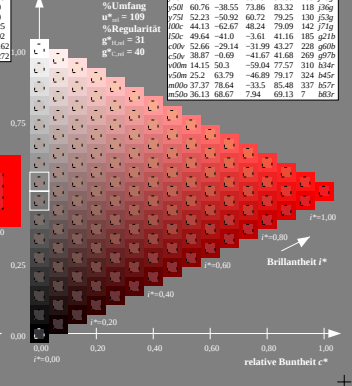

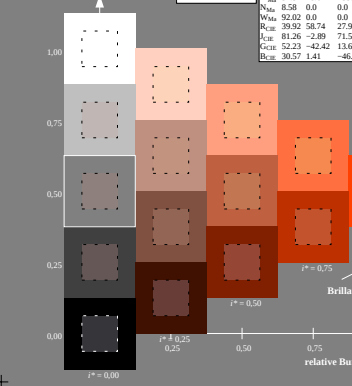

Ein und Ausgabe: Farbmetrisches Drucker-Reflektiv-System FRS09_92, L*=09_92 für relativen CIELAB-Buntton $h^* = lab^*h^* = h_{ab}/360 = 0.14$ $u^*_d = o25y$

Daten für jede Farbe:
*lab*ch** **und** *lab*icu**
Benttontexte:
u^*_d = *o25y* u^*_e = *r37j*
Kontrastreduzierungsfaktor:
c_R = **1.0**
Dreiecks-Helligkeit t^*

FRS09_92a; adaptierte CIELAB-Daten						
u^*_d	$L^*=L^*_a$	a^*_a	b^*_a	$C^*_{ab,a}$	$h^*_{ab,a}$	u^*_e
O_{Ma}	35.06	60.0	44.0	74.4	36	*r16j*
Y_{Ma}	83.77	−5.17	109.32	109.44	93	
L_{Ma}	44.13	−62.67	48.24	79.09	142	
C_{Ma}	52.66	−29.14	−31.99	43.27	228	
V_{Ma}	14.15	50.3	−59.04	77.57	310	
M_{Ma}	37.37	78.64	−33.5	85.48	337	
N_{Ma}	8.58	0.0	0.0	0.0	0	
W_{Ma}	92.02	0.0	0.0	0.0	0	
R_{CIE}	39.92	58.74	27.99	65.07	25	
I_{CIE}	81.26	−2.89	71.56	71.62	92	
G_{CIE}	52.23	−42.42	13.6	44.55	162	
B_{CIE}	30.57	1.41	−46.47	46.49	272	

Daten für Maximalfarbe (Ma):
*LAB*LAB**$_{Ma}$: **45 47 57**
*LAB*LCH**$_{Ma}$: **45 74 50**
*lab*olv**$_{Ma}$: **1.0 0.25 0.0**
*lab*rgb**$_{Ma}$: **1.0 0.37 0.0**
Dreiecks-Helligkeit t^*

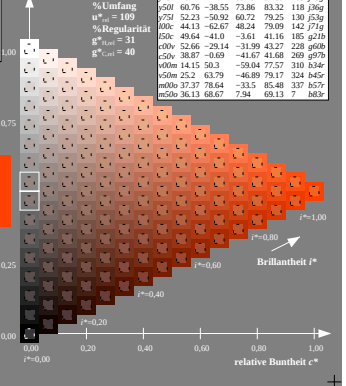

Ein und Ausgabe: Farbmetrisches Drucker-Reflektiv-System FRS09_92, L*=09_92 für relativen CIELAB-Buntton $h^* = lab^*h^* = h_{ab}/360 = 0.179$ $u^*_d = o50y$

Daten für jede Farbe:
*lab*ch** **und** *lab*icu**
Benttontexte:
u^*_d = *o50y* u^*_e = *r58j*
Kontrastreduzierungsfaktor:
c_R = **1.0**
Dreiecks-Helligkeit t^*

FRS09_92a; adaptierte CIELAB-Daten						
u^*_d	$L^*=L^*_a$	a^*_a	b^*_a	$C^*_{ab,a}$	$h^*_{ab,a}$	u^*_e
O_{Ma}	35.06	60.0	44.0	74.4	36	*r16j*
Y_{Ma}	83.77	−5.17	109.32	109.44	93	
L_{Ma}	44.13	−62.67	48.24	79.09	142	
C_{Ma}	52.66	−29.14	−31.99	43.27	228	
V_{Ma}	14.15	50.3	−59.04	77.57	310	
M_{Ma}	37.37	78.64	−33.5	85.48	337	
N_{Ma}	8.58	0.0	0.0	0.0	0	
W_{Ma}	92.02	0.0	0.0	0.0	0	
R_{CIE}	39.92	58.74	27.99	65.07	25	
I_{CIE}	81.26	−2.89	71.56	71.62	92	
G_{CIE}	52.23	−42.42	13.6	44.55	162	
B_{CIE}	30.57	1.41	−46.47	46.49	272	

Daten für Maximalfarbe (Ma):
*LAB*LAB**$_{Ma}$: **55 34 70**
*LAB*LCH**$_{Ma}$: **55 78 64**
*lab*olv**$_{Ma}$: **1.0 0.5 0.0**
*lab*rgb**$_{Ma}$: **1.0 0.58 0.0**
Dreiecks-Helligkeit t^*

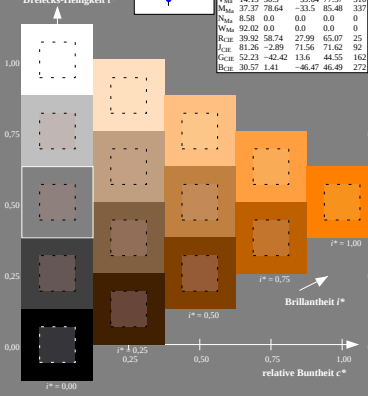

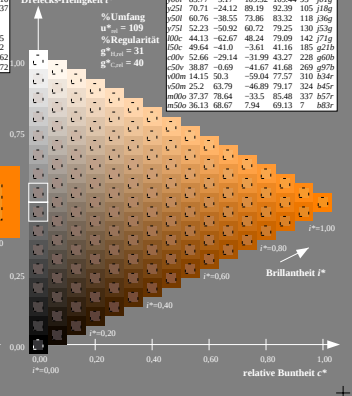

Ein und Ausgabe: Farbmetrisches Drucker-Reflektiv-System FRS09_92, L*=09_92 für relativen CIELAB-Buntton $h^* = lab^*h^* = h_{ab}/360 = 0.218$ $u^*_d = o75y$

Daten für jede Farbe:
*lab*ch** **und** *lab*icu**
Benttontexte:
u^*_d = *o75y* u^*_e = *r79j*
Kontrastreduzierungsfaktor:
c_R = **1.0**
Dreiecks-Helligkeit t^*

FRS09_92a; adaptierte CIELAB-Daten						
u^*_d	$L^*=L^*_a$	a^*_a	b^*_a	$C^*_{ab,a}$	$h^*_{ab,a}$	u^*_e
O_{Ma}	35.06	60.0	44.0	74.4	36	*r16j*
Y_{Ma}	83.77	−5.17	109.32	109.44	93	
L_{Ma}	44.13	−62.67	48.24	79.09	142	
C_{Ma}	52.66	−29.14	−31.99	43.27	228	
V_{Ma}	14.15	50.3	−59.04	77.57	310	
M_{Ma}	37.37	78.64	−33.5	85.48	337	
N_{Ma}	8.58	0.0	0.0	0.0	0	
W_{Ma}	92.02	0.0	0.0	0.0	0	
R_{CIE}	39.92	58.74	27.99	65.07	25	
I_{CIE}	81.26	−2.89	71.56	71.62	92	
G_{CIE}	52.23	−42.42	13.6	44.55	162	
B_{CIE}	30.57	1.41	−46.47	46.49	272	

Daten für Maximalfarbe (Ma):
*LAB*LAB**$_{Ma}$: **67 17 87**
*LAB*LCH**$_{Ma}$: **67 88 78**
*lab*olv**$_{Ma}$: **1.0 0.75 0.0**
*lab*rgb**$_{Ma}$: **1.0 0.79 0.0**
Dreiecks-Helligkeit t^*

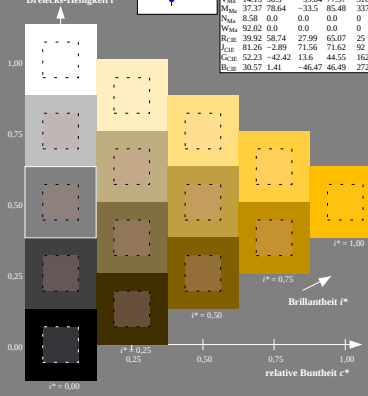

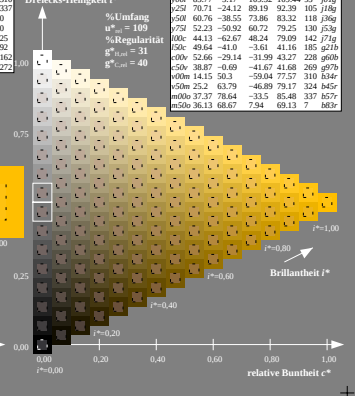

Ein und Ausgabe: Farbmetrisches Drucker-Reflektiv-System FRS09_92, L*=09_92 für relativen CIELAB-Buntton $h^* = lab^*h^* = h_{ab}/360 = 0.258$ $u^*_d = y00l$

Daten für jede Farbe:
*lab*ch** **und** *lab*icu**
Benttontexte:
u^*_d = *y00l* u^*_e = *j01g*
Kontrastreduzierungsfaktor:
c_R = **1.0**
Dreiecks-Helligkeit t^*

FRS09_92a; adaptierte CIELAB-Daten						
u^*_d	$L^*=L^*_a$	a^*_a	b^*_a	$C^*_{ab,a}$	$h^*_{ab,a}$	u^*_e
O_{Ma}	35.06	60.0	44.0	74.4	36	*r16j*
Y_{Ma}	83.77	−5.17	109.32	109.44	93	
L_{Ma}	44.13	−62.67	48.24	79.09	142	
C_{Ma}	52.66	−29.14	−31.99	43.27	228	
V_{Ma}	14.15	50.3	−59.04	77.57	310	
M_{Ma}	37.37	78.64	−33.5	85.48	337	
N_{Ma}	8.58	0.0	0.0	0.0	0	
W_{Ma}	92.02	0.0	0.0	0.0	0	
R_{CIE}	39.92	58.74	27.99	65.07	25	
I_{CIE}	81.26	−2.89	71.56	71.62	92	
G_{CIE}	52.23	−42.42	13.6	44.55	162	
B_{CIE}	30.57	1.41	−46.47	46.49	272	

Daten für Maximalfarbe (Ma):
*LAB*LAB**$_{Ma}$: **84 −5 109**
*LAB*LCH**$_{Ma}$: **84 109 92**
*lab*olv**$_{Ma}$: **1.0 1.0 0.0**
*lab*rgb**$_{Ma}$: **0.99 1.0 0.0**
Dreiecks-Helligkeit t^*

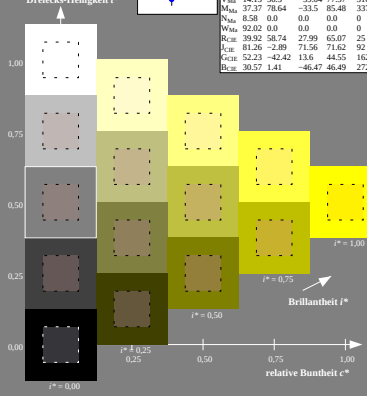

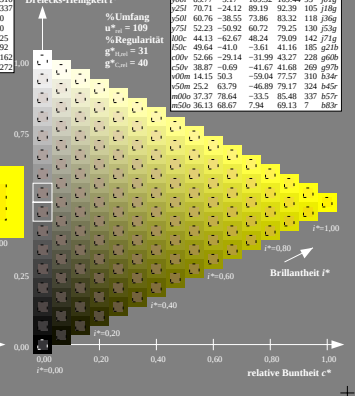

Ein und Ausgabe: Farbmetrisches Drucker-Reflektiv-System FRS09_92, L*=09_92 für relativen CIELAB-Buntton $h^* = lab^*h^* = h_{ab}/360 = 0.292$ $u^*_d = y25l$

Daten für jede Farbe:
*lab*ch** **und** *lab*icu**
Benttontexte:
u^*_d = *y25l* u^*_e = *j18g*
Kontrastreduzierungsfaktor:
c_R = **1.0**
Dreiecks-Helligkeit t^*

FRS09_92a; adaptierte CIELAB-Daten						
u^*_d	$L^*=L^*_a$	a^*_a	b^*_a	$C^*_{ab,a}$	$h^*_{ab,a}$	u^*_e
O_{Ma}	35.06	60.0	44.0	74.4	36	*r16j*
Y_{Ma}	83.77	−5.17	109.32	109.44	93	
L_{Ma}	44.13	−62.67	48.24	79.09	142	
C_{Ma}	52.66	−29.14	−31.99	43.27	228	
V_{Ma}	14.15	50.3	−59.04	77.57	310	
M_{Ma}	37.37	78.64	−33.5	85.48	337	
N_{Ma}	8.58	0.0	0.0	0.0	0	
W_{Ma}	92.02	0.0	0.0	0.0	0	
R_{CIE}	39.92	58.74	27.99	65.07	25	
I_{CIE}	81.26	−2.89	71.56	71.62	92	
G_{CIE}	52.23	−42.42	13.6	44.55	162	
B_{CIE}	30.57	1.41	−46.47	46.49	272	

Daten für Maximalfarbe (Ma):
*LAB*LAB**$_{Ma}$: **71 −24 89**
*LAB*LCH**$_{Ma}$: **71 92 105**
*lab*olv**$_{Ma}$: **0.75 1.0 0.0**
*lab*rgb**$_{Ma}$: **0.82 1.0 0.0**
Dreiecks-Helligkeit t^*

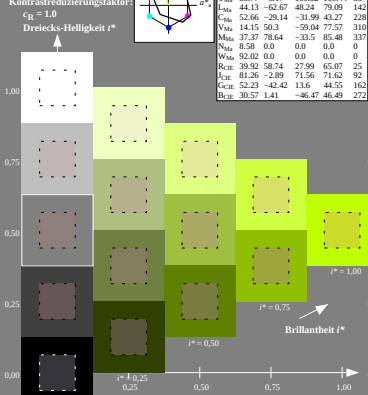

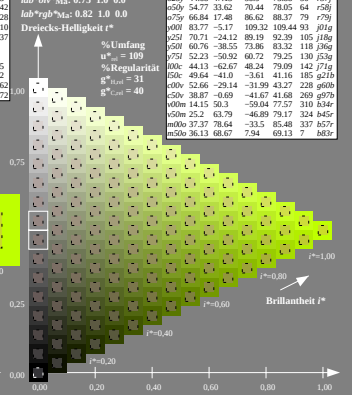

Ein und Ausgabe: Farbmetrisches Drucker-Reflektiv-System FRS09_92, L*=09_92 für relativen CIELAB-Buntton $h^* = lab^*h^* = h_{ab}/360 = 0.327$ $u^*_d = y50l$

Daten für jede Farbe:
*lab*ch** **und** *lab*icu**
Benttontexte:
u^*_d = *y50l* u^*_e = *j36g*
Kontrastreduzierungsfaktor:
c_R = **1.0**
Dreiecks-Helligkeit t^*

FRS09_92a; adaptierte CIELAB-Daten						
u^*_d	$L^*=L^*_a$	a^*_a	b^*_a	$C^*_{ab,a}$	$h^*_{ab,a}$	u^*_e
O_{Ma}	35.06	60.0	44.0	74.4	36	*r16j*
Y_{Ma}	83.77	−5.17	109.32	109.44	93	
L_{Ma}	44.13	−62.67	48.24	79.09	142	
C_{Ma}	52.66	−29.14	−31.99	43.27	228	
V_{Ma}	14.15	50.3	−59.04	77.57	310	
M_{Ma}	37.37	78.64	−33.5	85.48	337	
N_{Ma}	8.58	0.0	0.0	0.0	0	
W_{Ma}	92.02	0.0	0.0	0.0	0	
R_{CIE}	39.92	58.74	27.99	65.07	25	
I_{CIE}	81.26	−2.89	71.56	71.62	92	
G_{CIE}	52.23	−42.42	13.6	44.55	162	
B_{CIE}	30.57	1.41	−46.47	46.49	272	

Daten für Maximalfarbe (Ma):
*LAB*LAB**$_{Ma}$: **61 −39 74**
*LAB*LCH**$_{Ma}$: **61 83 117**
*lab*olv**$_{Ma}$: **0.5 1.0 0.0**
*lab*rgb**$_{Ma}$: **0.64 1.0 0.0**
Dreiecks-Helligkeit t^*

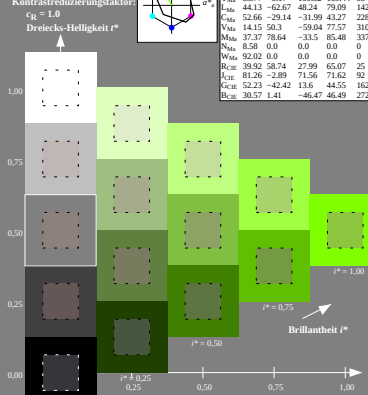

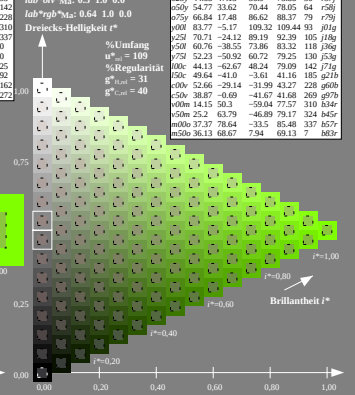

Ein und Ausgabe: Farbmetrisches Drucker-Reflektiv-System FRS09_92, L*=09_92 für relativen CIELAB-Buntton $h^* = lab^*h^* = h_{ab}/360 = 0.361$ $u^*_d = y75l$

Daten für jede Farbe:
*lab*ch** **und** *lab*icu**
Benttontexte:
u^*_d = *y75l* u^*_e = *j53g*
Kontrastreduzierungsfaktor:
c_R = **1.0**
Dreiecks-Helligkeit t^*

FRS09_92a; adaptierte CIELAB-Daten						
u^*_d	$L^*=L^*_a$	a^*_a	b^*_a	$C^*_{ab,a}$	$h^*_{ab,a}$	u^*_e
O_{Ma}	35.06	60.0	44.0	74.4	36	*r16j*
Y_{Ma}	83.77	−5.17	109.32	109.44	93	
L_{Ma}	44.13	−62.67	48.24	79.09	142	
C_{Ma}	52.66	−29.14	−31.99	43.27	228	
V_{Ma}	14.15	50.3	−59.04	77.57	310	
M_{Ma}	37.37	78.64	−33.5	85.48	337	
N_{Ma}	8.58	0.0	0.0	0.0	0	
W_{Ma}	92.02	0.0	0.0	0.0	0	
R_{CIE}	39.92	58.74	27.99	65.07	25	
I_{CIE}	81.26	−2.89	71.56	71.62	92	
G_{CIE}	52.23	−42.42	13.6	44.55	162	
B_{CIE}	30.57	1.41	−46.47	46.49	272	

Daten für Maximalfarbe (Ma):
*LAB*LAB**$_{Ma}$: **52 −51 61**
*LAB*LCH**$_{Ma}$: **52 79 129**
*lab*olv**$_{Ma}$: **0.25 1.0 0.0**
*lab*rgb**$_{Ma}$: **0.46 1.0 0.0**
Dreiecks-Helligkeit t^*

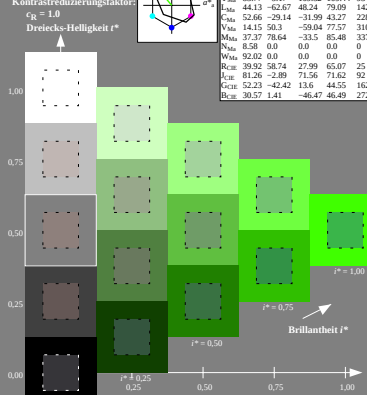

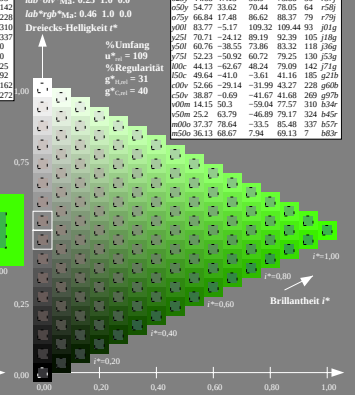

Ein und Ausgabe:
Farbmetrisches Drucker-Reflektiv-System FRS09_92a
Daten für jede Farbe:
u^*_d **und Nummer** *Nr.* **= 00 .. 15**
Geräte-Benttontext:
u^*_d **= 16 Bunttoene** *o00y, o25y, ..., m50o*
Kontrastreduzierungsfaktor:
c_R **= 1.0**

FRS09_92a; adaptierte CIELAB-Daten

u^*_d	$L^*=L^*_a$	a^*_a	b^*_a	$C^*_{ab,a}$	$h^*_{ab,a}$	u^*_a
o00y	35.06	60.0	44.0	74.4	36	*r16j*
o25y	44.68	47.13	56.9	73.88	50	*r37j*
o50y	54.77	33.62	70.44	78.05	64	*r58j*
o75y	66.84	17.48	86.62	88.37	79	*r79j*
y00l	83.77	−5.17	109.32	109.44	93	*j01g*
y25l	70.71	−24.12	89.19	92.39	105	*j18g*
y50l	60.76	−38.55	73.86	83.32	118	*j36g*
y75l	52.23	−50.92	60.72	79.25	130	*j53g*
l00c	44.13	−62.67	48.24	79.09	142	*j71g*
l50c	49.64	−41.0	−3.61	41.16	185	*q21b*
c00v	52.66	−29.14	−31.99	43.27	228	*q60b*
c50v	38.87	−0.69	−41.67	41.68	269	*q97b*
v00m	14.15	50.3	−59.04	77.57	310	*b34r*
v50m	25.2	63.79	−46.89	79.17	324	*b45r*
m00o	37.37	78.64	−33.5	85.48	337	*b57r*
m50o	36.13	68.67	7.94	69.13	7	*b83r*

FRS09_92a; adaptierte CIELAB-Daten

Name	$L^*=L^*_a$	a^*_a	b^*_a	$C^*_{ab,a}$	$h^*_{ab,a}$
O_{Ma}	35.06	60.0	44.0	74.4	36
Y_{Ma}	83.77	−5.17	109.32	109.44	93
L_{Ma}	44.13	−62.67	48.24	79.09	142
C_{Ma}	52.66	−29.14	−31.99	43.27	228
V_{Ma}	14.15	50.3	−59.04	77.57	310
M_{Ma}	37.37	78.64	−33.5	85.48	337
N_{Ma}	8.58	0.0	0.0	0.0	0
W_{Ma}	92.02	0.0	0.0	0.0	0
R_{CIE}	39.92	58.74	27.99	65.07	25
I_{CIE}	81.26	−2.89	71.56	71.62	92
G_{CIE}	52.23	−42.42	13.6	44.55	162
B_{CIE}	30.57	1.41	−46.47	46.49	272

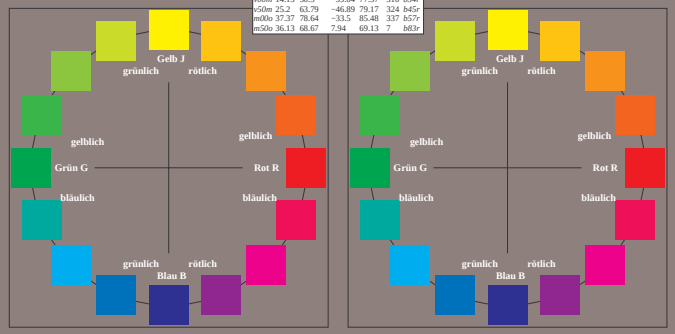

Ein und Ausgabe: Farbmetrisches Drucker-Reflektiv-System FRS09_92, L*=09_92 für relativen CIELAB-Buntton $h^* = lab^*h^* = h_{ab}/360 = 0.101$ $u^*_d = o00y$

Daten für jede Farbe:
lab*ich* und lab*icu*
Benttontexte:
u^*_d **= o00y** u^*_e **= r16j**
Kontrastreduzierungsfaktor:
c_R **= 1.0**
Dreiecks-Helligkeit t^*

Daten für Maximalfarbe (Ma):
$LAB^*LAB^*_{Ma}$**: 35 60 44**
$LAB^*LCH^*_{Ma}$**: 35 74 36**
$lab^*olv^*_{Ma}$**: 1.0 0.0 0.0**
$lab^*rgb^*_{Ma}$**: 1.0 0.16 0.0**
Dreiecks-Helligkeit t^*

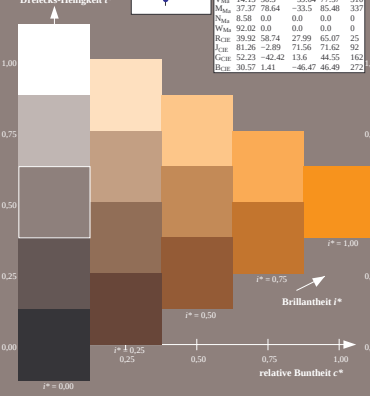

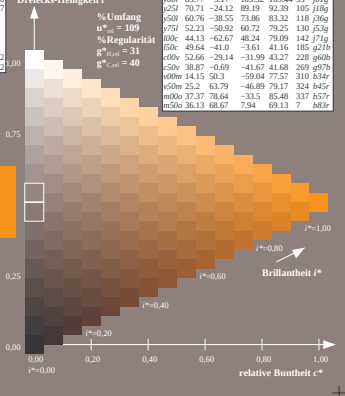

Ein und Ausgabe: Farbmetrisches Drucker-Reflektiv-System FRS09_92, L*=09_92 für relativen CIELAB-Buntton $h^* = lab^*h^* = h_{ab}/360 = 0.14$ $u^*_d = o25y$

Daten für jede Farbe:
lab*ich* und lab*icu*
Benttontexte:
u^*_d **= o25y** u^*_e **= r37j**
Kontrastreduzierungsfaktor:
c_R **= 1.0**
Dreiecks-Helligkeit t^*

Daten für Maximalfarbe (Ma):
$LAB^*LAB^*_{Ma}$**: 45 47 57**
$LAB^*LCH^*_{Ma}$**: 45 74 50**
$lab^*olv^*_{Ma}$**: 1.0 0.25 0.0**
$lab^*rgb^*_{Ma}$**: 1.0 0.37 0.0**
Dreiecks-Helligkeit t^*

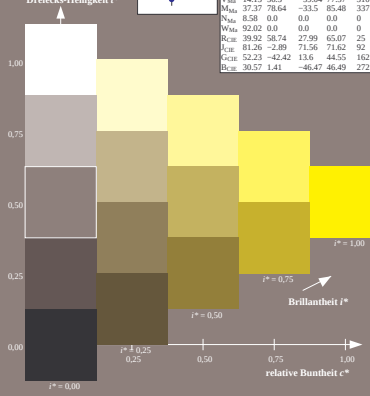

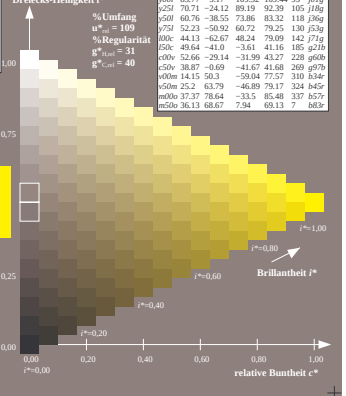

Ein und Ausgabe: Farbmetrisches Drucker-Reflektiv-System FRS09_92, L*=09_92 für relativen CIELAB-Buntton $h^* = lab^*h^* = h_{ab}/360 = 0.179$ $u^*_d = o50y$

Daten für jede Farbe:
lab*ich* und lab*icu*
Benttontexte:
u^*_d **= o50y** u^*_e **= r58j**
Kontrastreduzierungsfaktor:
c_R **= 1.0**
Dreiecks-Helligkeit t^*

Daten für Maximalfarbe (Ma):
$LAB^*LAB^*_{Ma}$**: 55 34 70**
$LAB^*LCH^*_{Ma}$**: 55 78 64**
$lab^*olv^*_{Ma}$**: 1.0 0.5 0.0**
$lab^*rgb^*_{Ma}$**: 1.0 0.58 0.0**
Dreiecks-Helligkeit t^*

Ein und Ausgabe: Farbmetrisches Drucker-Reflektiv-System FRS09_92, L*=09_92 für relativen CIELAB-Buntton $h^* = lab^*h^* = h_{ab}/360 = 0.218$ $u^*_d = o75y$

Daten für jede Farbe:
lab*ich* und lab*icu*
Benttontexte:
u^*_d **= o75y** u^*_e **= r79j**
Kontrastreduzierungsfaktor:
c_R **= 1.0**
Dreiecks-Helligkeit t^*

Daten für Maximalfarbe (Ma):
$LAB^*LAB^*_{Ma}$**: 67 17 87**
$LAB^*LCH^*_{Ma}$**: 67 88 78**
$lab^*olv^*_{Ma}$**: 1.0 0.75 0.0**
$lab^*rgb^*_{Ma}$**: 1.0 0.79 0.0**
Dreiecks-Helligkeit t^*

Ein und Ausgabe: Farbmetrisches Drucker-Reflektiv-System FRS09_92, L*=09_92 für relativen CIELAB-Buntton $h^* = lab^*h^* = h_{ab}/360 = 0.258$ $u^*_d = y00l$

Daten für jede Farbe:
lab*ich* und lab*icu*
Benttontexte:
u^*_d **= y00l** u^*_e **= j01g**
Kontrastreduzierungsfaktor:
c_R **= 1.0**
Dreiecks-Helligkeit t^*

Daten für Maximalfarbe (Ma):
$LAB^*LAB^*_{Ma}$**: 84 −5 109**
$LAB^*LCH^*_{Ma}$**: 84 109 92**
$lab^*olv^*_{Ma}$**: 1.0 1.0 0.0**
$lab^*rgb^*_{Ma}$**: 0.99 1.0 0.0**
Dreiecks-Helligkeit t^*

Ein und Ausgabe: Farbmetrisches Drucker-Reflektiv-System FRS09_92, L*=09_92 für relativen CIELAB-Buntton $h^* = lab^*h^* = h_{ab}/360 = 0.292$ $u^*_d = y25l$

Daten für jede Farbe:
lab*ich* und lab*icu*
Benttontexte:
u^*_d **= y25l** u^*_e **= j18g**
Kontrastreduzierungsfaktor:
c_R **= 1.0**
Dreiecks-Helligkeit t^*

Daten für Maximalfarbe (Ma):
$LAB^*LAB^*_{Ma}$**: 71 −24 89**
$LAB^*LCH^*_{Ma}$**: 71 92 105**
$lab^*olv^*_{Ma}$**: 0.75 1.0 0.0**
$lab^*rgb^*_{Ma}$**: 0.82 1.0 0.0**
Dreiecks-Helligkeit t^*

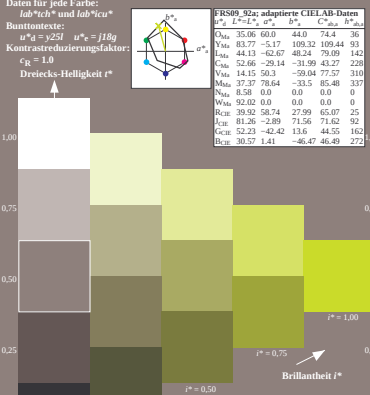

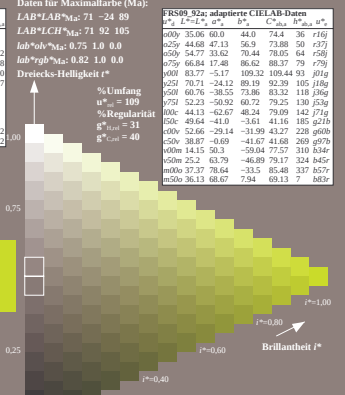

Ein und Ausgabe: Farbmetrisches Drucker-Reflektiv-System FRS09_92, L*=09_92 für relativen CIELAB-Buntton $h^* = lab^*h^* = h_{ab}/360 = 0.327$ $u^*_d = y50l$

Daten für jede Farbe:
lab*ich* und lab*icu*
Benttontexte:
u^*_d **= y50l** u^*_e **= j36g**
Kontrastreduzierungsfaktor:
c_R **= 1.0**
Dreiecks-Helligkeit t^*

Daten für Maximalfarbe (Ma):
$LAB^*LAB^*_{Ma}$**: 61 −39 74**
$LAB^*LCH^*_{Ma}$**: 61 83 117**
$lab^*olv^*_{Ma}$**: 0.5 1.0 0.0**
$lab^*rgb^*_{Ma}$**: 0.64 1.0 0.0**
Dreiecks-Helligkeit t^*

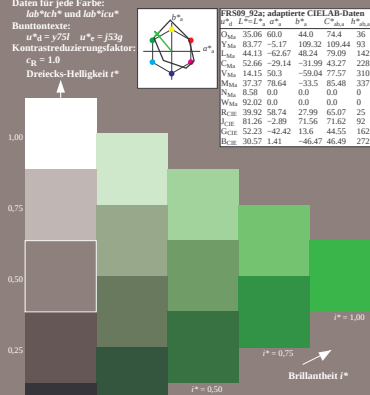

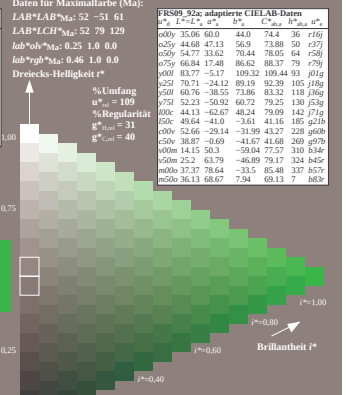

Ein und Ausgabe: Farbmetrisches Drucker-Reflektiv-System FRS09_92, L*=09_92 für relativen CIELAB-Buntton $h^* = lab^*h^* = h_{ab}/360 = 0.361$ $u^*_d = y75l$

Daten für jede Farbe:
lab*ich* und lab*icu*
Benttontexte:
u^*_d **= y75l** u^*_e **= j53g**
Kontrastreduzierungsfaktor:
c_R **= 1.0**
Dreiecks-Helligkeit t^*

Daten für Maximalfarbe (Ma):
$LAB^*LAB^*_{Ma}$**: 52 −51 61**
$LAB^*LCH^*_{Ma}$**: 52 79 129**
$lab^*olv^*_{Ma}$**: 0.25 1.0 0.0**
$lab^*rgb^*_{Ma}$**: 0.46 1.0 0.0**
Dreiecks-Helligkeit t^*

Ein und Ausgabe:
Farbmetrisches Drucker-Reflektiv-System FRS09_92a
Daten für jede Farbe:
u^*_d **und Nummer** *Nr.* = **00 .. 15**
Geräte-Benttontext:
u^*_d = 16 Benttoene *o00y, o25y, ..., m50o*
Kontrastreduzierungsfaktor:
c_R = **1.0**

FRS09_92a; adaptierte CIELAB-Daten						
u^*_d	$L^*=L^*_a$	a^*_a	b^*_a	$C^*_{ab,a}$	$h^*_{ab,a}$	u^*_e
o00y	35.06	60.0	44.0	74.4	36	*r16j*
o25y	44.68	47.13	56.9	73.88	50	*r37j*
o50y	54.77	33.62	70.44	78.05	64	*r58j*
o75y	66.84	17.48	86.62	88.37	79	*r79j*
y00l	83.77	−5.17	109.32	109.44	93	*j01g*
y25l	70.71	−24.12	89.19	92.39	105	*j18g*
y50l	60.76	−38.55	73.86	83.32	118	*j36g*
y75l	52.23	−50.92	60.72	79.25	130	*j53g*
l00c	44.13	−62.67	48.24	79.09	142	*j71g*
l50c	49.64	−41.0	−3.61	41.16	185	*g21b*
c00v	52.66	−29.14	−31.99	43.27	228	*g60b*
c50v	38.87	−0.69	−41.67	41.68	269	*g97b*
v00m	14.15	50.3	−59.04	77.57	310	*b34r*
v50m	25.2	63.79	−46.89	79.17	324	*b45r*
m00o	37.37	78.64	−33.5	85.48	337	*b57r*
m50o	36.13	68.67	7.94	69.13	7	*b83r*

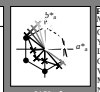

%Umfang
$u^*_{e,i}$ = 109
%Regularität
$g^*_{R,rel}$ = 31
$g^*_{C,rel}$ = 40

FRS09_92a; adaptierte CIELAB-Daten						
Name	$L^*=L^*_a$	a^*_a	b^*_a	$C^*_{ab,a}$	$h^*_{ab,a}$	
O_{Ma}	35.06	60.0	44.0	74.4	36	
Y_{Ma}	83.77	−5.17	109.32	109.44	93	
L_{Ma}	44.13	−62.67	48.24	79.09	142	
C_{Ma}	52.66	−29.14	−31.99	43.27	228	
V_{Ma}	14.15	50.3	−59.04	77.57	310	
M_{Ma}	37.37	78.64	−33.5	85.48	337	
N_{Ma}	8.58	0.0	0.0	0.0	0	
W_{Ma}	92.02	0.0	0.0	0.0	0	
R_{CIE}	39.92	58.74	27.99	65.07	25	
I_{CIE}	81.26	−2.89	71.56	71.62	92	
G_{CIE}	52.23	−42.42	13.6	44.55	162	
B_{CIE}	30.57	1.41	−46.47	46.49	272	

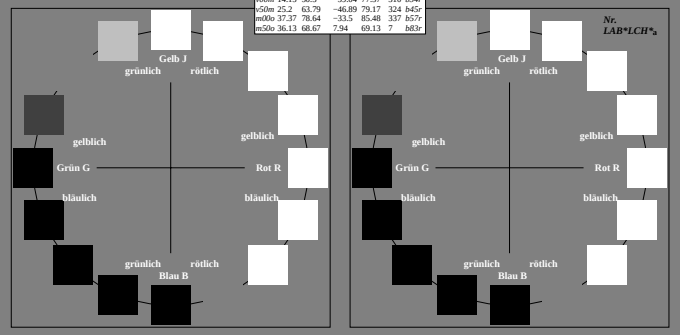

Ein und Ausgabe: Farbmetrisches Drucker-Reflektiv-System FRS09_92, L*=09_92 für relativen CIELAB-Buntton $h^* = lab^*h^* = h_{ab}/360 = 0.101$ $u^*_d = o00y$

Daten für jede Farbe:
lab**ich **und** ***lab**icu***
Benttontexte:
u^*_d = *o00y* u^*_e = *r16j*
Kontrastreduzierungsfaktor:
c_R = **1.0**
Dreiecks-Helligkeit t^*

Daten für Maximalfarbe (Ma):
$LAB^*LAB^*_{Ma}$: **35 60 44**
$LAB^*LCH^*_{Ma}$: **35 74 36**
$lab^*olv^*_{Ma}$: **1.0 0.0 0.0**
$lab^*rgb^*_{Ma}$: **1.0 0.16 0.0**
Dreiecks-Helligkeit t^*

%Umfang
$u^*_{e,i}$ = 109
%Regularität
$g^*_{R,rel}$ = 31
$g^*_{C,rel}$ = 40

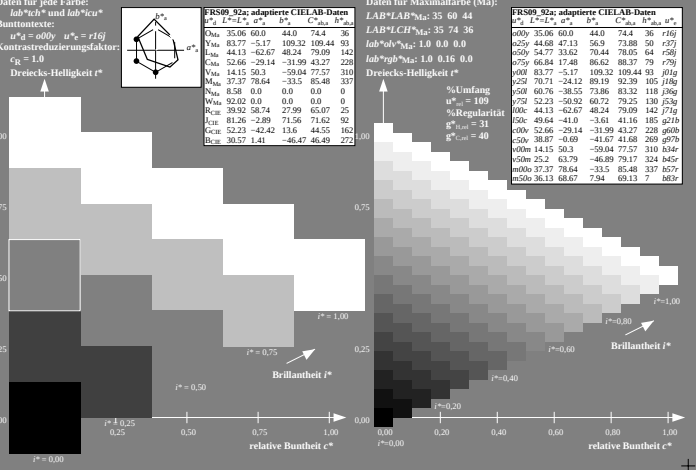

FRS09_92a; adaptierte CIELAB-Daten						
u^*_d	$L^*=L^*_a$	a^*_a	b^*_a	$C^*_{ab,a}$	$h^*_{ab,a}$	u^*_e
O_{Ma}	35.06	60.0	44.0	74.4	36	*r16j*
Y_{Ma}	83.77	−5.17	109.32	109.44	93	
L_{Ma}	44.13	−62.67	48.24	79.09	142	
C_{Ma}	52.66	−29.14	−31.99	43.27	228	
V_{Ma}	14.15	50.3	−59.04	77.57	310	
M_{Ma}	37.37	78.64	−33.5	85.48	337	
N_{Ma}	8.58	0.0	0.0	0.0	0	
W_{Ma}	92.02	0.0	0.0	0.0	0	
R_{CIE}	39.92	58.74	27.99	65.07	25	
I_{CIE}	81.26	−2.89	71.56	71.62	92	
G_{CIE}	52.23	−42.42	13.6	44.55	162	
B_{CIE}	30.57	1.41	−46.47	46.49	272	

Ein und Ausgabe: Farbmetrisches Drucker-Reflektiv-System FRS09_92, L*=09_92 für relativen CIELAB-Buntton $h^* = lab^*h^* = h_{ab}/360 = 0.14$ $u^*_d = o25y$

Daten für jede Farbe:
lab**ich **und** ***lab**icu***
Benttontexte:
u^*_d = *o25y* u^*_e = *r37j*
Kontrastreduzierungsfaktor:
c_R = **1.0**
Dreiecks-Helligkeit t^*

Daten für Maximalfarbe (Ma):
$LAB^*LAB^*_{Ma}$: **45 47 57**
$LAB^*LCH^*_{Ma}$: **45 74 50**
$lab^*olv^*_{Ma}$: **1.0 0.25 0.0**
$lab^*rgb^*_{Ma}$: **1.0 0.37 0.0**
Dreiecks-Helligkeit t^*

%Umfang
$u^*_{e,i}$ = 109
%Regularität
$g^*_{R,rel}$ = 31
$g^*_{C,rel}$ = 40

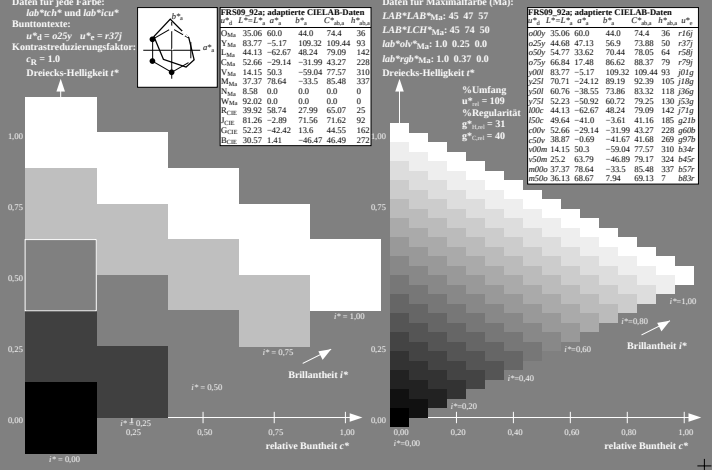

FRS09_92a; adaptierte CIELAB-Daten						
u^*_d	$L^*=L^*_a$	a^*_a	b^*_a	$C^*_{ab,a}$	$h^*_{ab,a}$	u^*_e
O_{Ma}	35.06	60.0	44.0	74.4	36	*r16j*
Y_{Ma}	83.77	−5.17	109.32	109.44	93	
L_{Ma}	44.13	−62.67	48.24	79.09	142	
C_{Ma}	52.66	−29.14	−31.99	43.27	228	
V_{Ma}	14.15	50.3	−59.04	77.57	310	
M_{Ma}	37.37	78.64	−33.5	85.48	337	
N_{Ma}	8.58	0.0	0.0	0.0	0	
W_{Ma}	92.02	0.0	0.0	0.0	0	
R_{CIE}	39.92	58.74	27.99	65.07	25	
I_{CIE}	81.26	−2.89	71.56	71.62	92	
G_{CIE}	52.23	−42.42	13.6	44.55	162	
B_{CIE}	30.57	1.41	−46.47	46.49	272	

Ein und Ausgabe: Farbmetrisches Drucker-Reflektiv-System FRS09_92, L*=09_92 für relativen CIELAB-Buntton $h^* = lab^*h^* = h_{ab}/360 = 0.179$ $u^*_d = o50y$

Daten für jede Farbe:
lab**ich **und** ***lab**icu***
Benttontexte:
u^*_d = *o50y* u^*_e = *r58j*
Kontrastreduzierungsfaktor:
c_R = **1.0**
Dreiecks-Helligkeit t^*

Daten für Maximalfarbe (Ma):
$LAB^*LAB^*_{Ma}$: **55 34 70**
$LAB^*LCH^*_{Ma}$: **55 78 64**
$lab^*olv^*_{Ma}$: **1.0 0.5 0.0**
$lab^*rgb^*_{Ma}$: **1.0 0.58 0.0**
Dreiecks-Helligkeit t^*

%Umfang
$u^*_{e,i}$ = 109
%Regularität
$g^*_{R,rel}$ = 31
$g^*_{C,rel}$ = 40

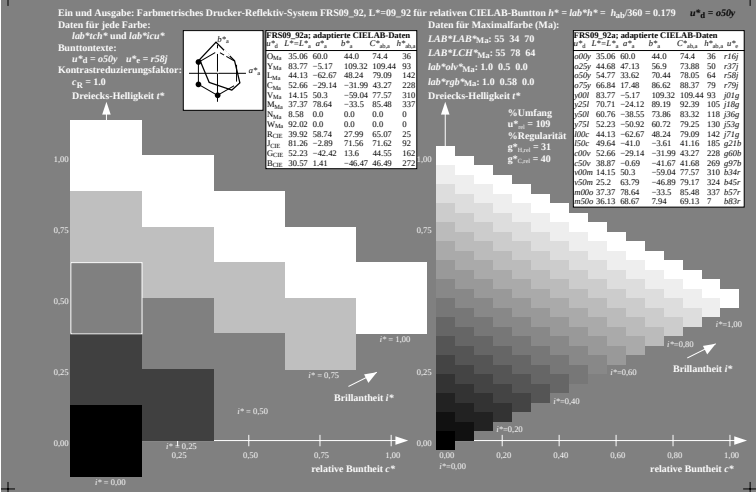

FRS09_92a; adaptierte CIELAB-Daten						
u^*_d	$L^*=L^*_a$	a^*_a	b^*_a	$C^*_{ab,a}$	$h^*_{ab,a}$	u^*_e
O_{Ma}	35.06	60.0	44.0	74.4	36	*r16j*
Y_{Ma}	83.77	−5.17	109.32	109.44	93	
L_{Ma}	44.13	−62.67	48.24	79.09	142	
C_{Ma}	52.66	−29.14	−31.99	43.27	228	
V_{Ma}	14.15	50.3	−59.04	77.57	310	
M_{Ma}	37.37	78.64	−33.5	85.48	337	
N_{Ma}	8.58	0.0	0.0	0.0	0	
W_{Ma}	92.02	0.0	0.0	0.0	0	
R_{CIE}	39.92	58.74	27.99	65.07	25	
I_{CIE}	81.26	−2.89	71.56	71.62	92	
G_{CIE}	52.23	−42.42	13.6	44.55	162	
B_{CIE}	30.57	1.41	−46.47	46.49	272	

Ein und Ausgabe: Farbmetrisches Drucker-Reflektiv-System FRS09_92, L*=09_92 für relativen CIELAB-Buntton $h^* = lab^*h^* = h_{ab}/360 = 0.218$ $u^*_d = o75y$

Daten für jede Farbe:
lab**ich **und** ***lab**icu***
Benttontexte:
u^*_d = *o75y* u^*_e = *r79j*
Kontrastreduzierungsfaktor:
c_R = **1.0**
Dreiecks-Helligkeit t^*

Daten für Maximalfarbe (Ma):
$LAB^*LAB^*_{Ma}$: **67 17 87**
$LAB^*LCH^*_{Ma}$: **67 88 78**
$lab^*olv^*_{Ma}$: **1.0 0.75 0.0**
$lab^*rgb^*_{Ma}$: **1.0 0.79 0.0**
Dreiecks-Helligkeit t^*

%Umfang
$u^*_{e,i}$ = 109
%Regularität
$g^*_{R,rel}$ = 31
$g^*_{C,rel}$ = 40

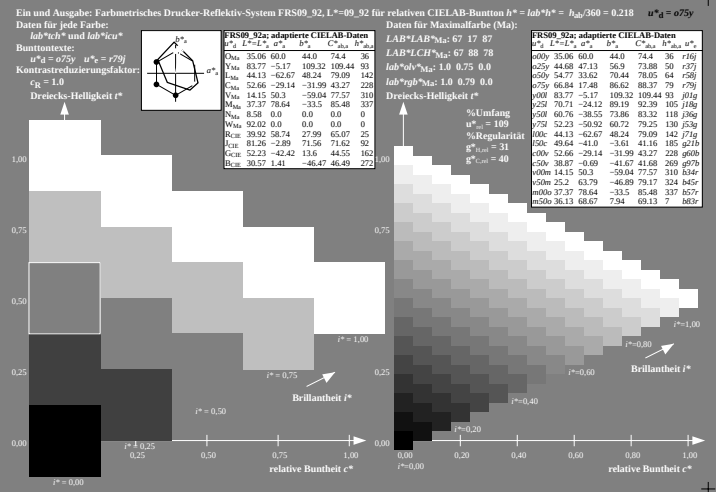

FRS09_92a; adaptierte CIELAB-Daten						
u^*_d	$L^*=L^*_a$	a^*_a	b^*_a	$C^*_{ab,a}$	$h^*_{ab,a}$	u^*_e
O_{Ma}	35.06	60.0	44.0	74.4	36	*r16j*
Y_{Ma}	83.77	−5.17	109.32	109.44	93	
L_{Ma}	44.13	−62.67	48.24	79.09	142	
C_{Ma}	52.66	−29.14	−31.99	43.27	228	
V_{Ma}	14.15	50.3	−59.04	77.57	310	
M_{Ma}	37.37	78.64	−33.5	85.48	337	
N_{Ma}	8.58	0.0	0.0	0.0	0	
W_{Ma}	92.02	0.0	0.0	0.0	0	
R_{CIE}	39.92	58.74	27.99	65.07	25	
I_{CIE}	81.26	−2.89	71.56	71.62	92	
G_{CIE}	52.23	−42.42	13.6	44.55	162	
B_{CIE}	30.57	1.41	−46.47	46.49	272	

Ein und Ausgabe: Farbmetrisches Drucker-Reflektiv-System FRS09_92, L*=09_92 für relativen CIELAB-Buntton $h^* = lab^*h^* = h_{ab}/360 = 0.258$ $u^*_d = y00l$

Daten für jede Farbe:
lab**ich **und** ***lab**icu***
Benttontexte:
u^*_d = *y00l* u^*_e = *j01g*
Kontrastreduzierungsfaktor:
c_R = **1.0**
Dreiecks-Helligkeit t^*

Daten für Maximalfarbe (Ma):
$LAB^*LAB^*_{Ma}$: **84 −5 109**
$LAB^*LCH^*_{Ma}$: **84 109 92**
$lab^*olv^*_{Ma}$: **1.0 1.0 0.0**
$lab^*rgb^*_{Ma}$: **0.99 1.0 0.0**
Dreiecks-Helligkeit t^*

%Umfang
$u^*_{e,i}$ = 109
%Regularität
$g^*_{R,rel}$ = 31
$g^*_{C,rel}$ = 40

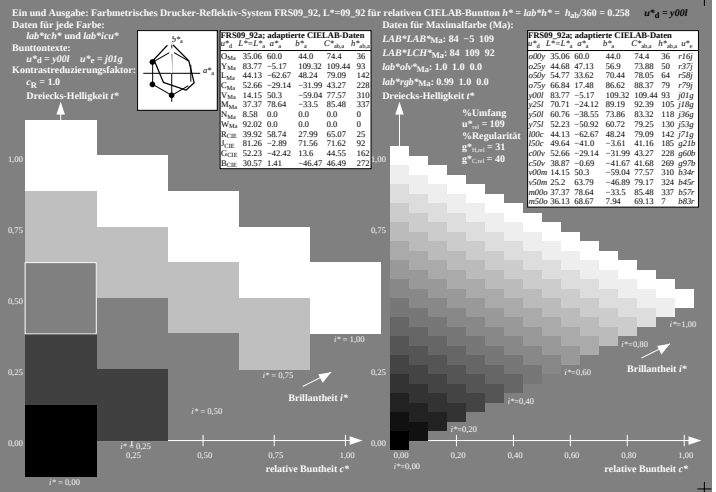

FRS09_92a; adaptierte CIELAB-Daten						
u^*_d	$L^*=L^*_a$	a^*_a	b^*_a	$C^*_{ab,a}$	$h^*_{ab,a}$	u^*_e
O_{Ma}	35.06	60.0	44.0	74.4	36	*r16j*
Y_{Ma}	83.77	−5.17	109.32	109.44	93	
L_{Ma}	44.13	−62.67	48.24	79.09	142	
C_{Ma}	52.66	−29.14	−31.99	43.27	228	
V_{Ma}	14.15	50.3	−59.04	77.57	310	
M_{Ma}	37.37	78.64	−33.5	85.48	337	
N_{Ma}	8.58	0.0	0.0	0.0	0	
W_{Ma}	92.02	0.0	0.0	0.0	0	
R_{CIE}	39.92	58.74	27.99	65.07	25	
I_{CIE}	81.26	−2.89	71.56	71.62	92	
G_{CIE}	52.23	−42.42	13.6	44.55	162	
B_{CIE}	30.57	1.41	−46.47	46.49	272	

Ein und Ausgabe: Farbmetrisches Drucker-Reflektiv-System FRS09_92, L*=09_92 für relativen CIELAB-Buntton $h^* = lab^*h^* = h_{ab}/360 = 0.292$ $u^*_d = y25l$

Daten für jede Farbe:
lab**ich **und** ***lab**icu***
Benttontexte:
u^*_d = *y25l* u^*_e = *j18g*
Kontrastreduzierungsfaktor:
c_R = **1.0**
Dreiecks-Helligkeit t^*

Daten für Maximalfarbe (Ma):
$LAB^*LAB^*_{Ma}$: **71 −24 89**
$LAB^*LCH^*_{Ma}$: **71 92 105**
$lab^*olv^*_{Ma}$: **0.75 1.0 0.0**
$lab^*rgb^*_{Ma}$: **0.82 1.0 0.0**
Dreiecks-Helligkeit t^*

%Umfang
$u^*_{e,i}$ = 109
%Regularität
$g^*_{R,rel}$ = 31
$g^*_{C,rel}$ = 40

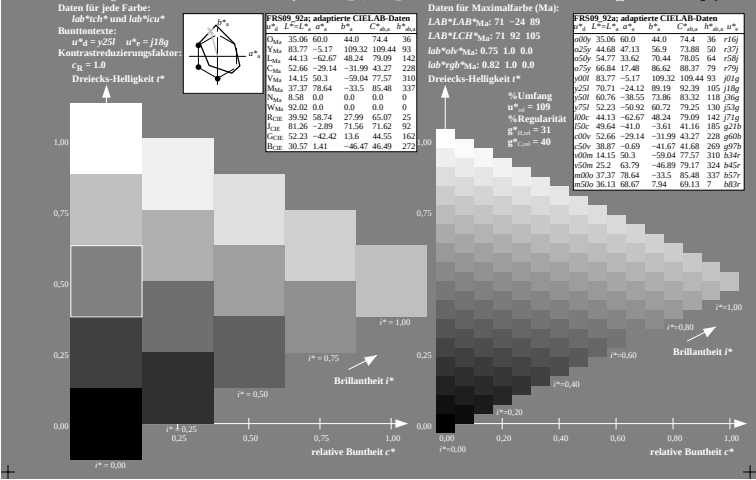

FRS09_92a; adaptierte CIELAB-Daten						
u^*_d	$L^*=L^*_a$	a^*_a	b^*_a	$C^*_{ab,a}$	$h^*_{ab,a}$	u^*_e
O_{Ma}	35.06	60.0	44.0	74.4	36	*r16j*
Y_{Ma}	83.77	−5.17	109.32	109.44	93	
L_{Ma}	44.13	−62.67	48.24	79.09	142	
C_{Ma}	52.66	−29.14	−31.99	43.27	228	
V_{Ma}	14.15	50.3	−59.04	77.57	310	
M_{Ma}	37.37	78.64	−33.5	85.48	337	
N_{Ma}	8.58	0.0	0.0	0.0	0	
W_{Ma}	92.02	0.0	0.0	0.0	0	
R_{CIE}	39.92	58.74	27.99	65.07	25	
I_{CIE}	81.26	−2.89	71.56	71.62	92	
G_{CIE}	52.23	−42.42	13.6	44.55	162	
B_{CIE}	30.57	1.41	−46.47	46.49	272	

Ein und Ausgabe: Farbmetrisches Drucker-Reflektiv-System FRS09_92, L*=09_92 für relativen CIELAB-Buntton $h^* = lab^*h^* = h_{ab}/360 = 0.327$ $u^*_d = y50l$

Daten für jede Farbe:
lab**ich **und** ***lab**icu***
Benttontexte:
u^*_d = *y50l* u^*_e = *j36g*
Kontrastreduzierungsfaktor:
c_R = **1.0**
Dreiecks-Helligkeit t^*

Daten für Maximalfarbe (Ma):
$LAB^*LAB^*_{Ma}$: **61 −39 74**
$LAB^*LCH^*_{Ma}$: **61 83 117**
$lab^*olv^*_{Ma}$: **0.5 1.0 0.0**
$lab^*rgb^*_{Ma}$: **0.64 1.0 0.0**
Dreiecks-Helligkeit t^*

%Umfang
$u^*_{e,i}$ = 109
%Regularität
$g^*_{R,rel}$ = 31
$g^*_{C,rel}$ = 40

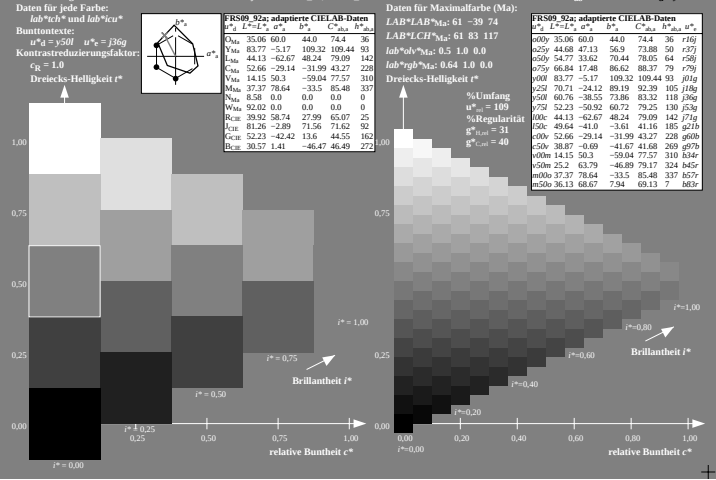

FRS09_92a; adaptierte CIELAB-Daten						
u^*_d	$L^*=L^*_a$	a^*_a	b^*_a	$C^*_{ab,a}$	$h^*_{ab,a}$	u^*_e
O_{Ma}	35.06	60.0	44.0	74.4	36	*r16j*
Y_{Ma}	83.77	−5.17	109.32	109.44	93	
L_{Ma}	44.13	−62.67	48.24	79.09	142	
C_{Ma}	52.66	−29.14	−31.99	43.27	228	
V_{Ma}	14.15	50.3	−59.04	77.57	310	
M_{Ma}	37.37	78.64	−33.5	85.48	337	
N_{Ma}	8.58	0.0	0.0	0.0	0	
W_{Ma}	92.02	0.0	0.0	0.0	0	
R_{CIE}	39.92	58.74	27.99	65.07	25	
I_{CIE}	81.26	−2.89	71.56	71.62	92	
G_{CIE}	52.23	−42.42	13.6	44.55	162	
B_{CIE}	30.57	1.41	−46.47	46.49	272	

Ein und Ausgabe: Farbmetrisches Drucker-Reflektiv-System FRS09_92, L*=09_92 für relativen CIELAB-Buntton $h^* = lab^*h^* = h_{ab}/360 = 0.361$ $u^*_d = y75l$

Daten für jede Farbe:
lab**ich **und** ***lab**icu***
Benttontexte:
u^*_d = *y75l* u^*_e = *j53g*
Kontrastreduzierungsfaktor:
c_R = **1.0**
Dreiecks-Helligkeit t^*

Daten für Maximalfarbe (Ma):
$LAB^*LAB^*_{Ma}$: **52 −51 61**
$LAB^*LCH^*_{Ma}$: **52 79 129**
$lab^*olv^*_{Ma}$: **0.25 1.0 0.0**
$lab^*rgb^*_{Ma}$: **0.46 1.0 0.0**
Dreiecks-Helligkeit t^*

%Umfang
$u^*_{e,i}$ = 109
%Regularität
$g^*_{R,rel}$ = 31
$g^*_{C,rel}$ = 40

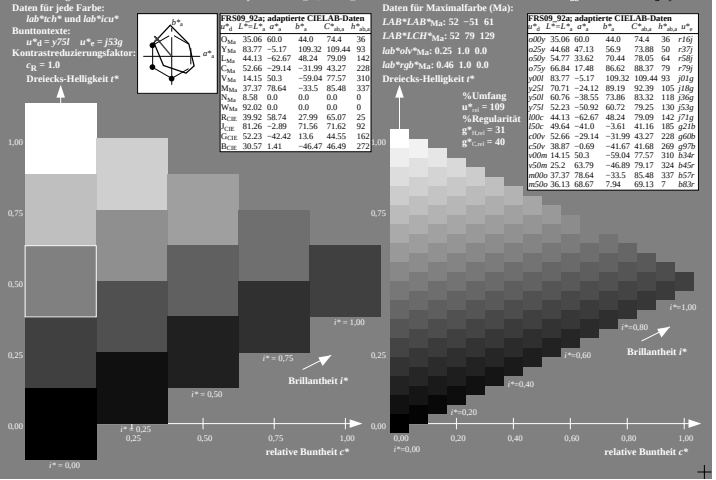

FRS09_92a; adaptierte CIELAB-Daten						
u^*_d	$L^*=L^*_a$	a^*_a	b^*_a	$C^*_{ab,a}$	$h^*_{ab,a}$	u^*_e
O_{Ma}	35.06	60.0	44.0	74.4	36	*r16j*
Y_{Ma}	83.77	−5.17	109.32	109.44	93	
L_{Ma}	44.13	−62.67	48.24	79.09	142	
C_{Ma}	52.66	−29.14	−31.99	43.27	228	
V_{Ma}	14.15	50.3	−59.04	77.57	310	
M_{Ma}	37.37	78.64	−33.5	85.48	337	
N_{Ma}	8.58	0.0	0.0	0.0	0	
W_{Ma}	92.02	0.0	0.0	0.0	0	
R_{CIE}	39.92	58.74	27.99	65.07	25	
I_{CIE}	81.26	−2.89	71.56	71.62	92	
G_{CIE}	52.23	−42.42	13.6	44.55	162	
B_{CIE}	30.57	1.41	−46.47	46.49	272	

Ein und Ausgabe:
Farbmetrisches Drucker-Reflektiv-System FRS09_92a
Daten für jede Farbe:
u^*_d und Nummer *Nr.* = 00 .. 15
Geräte-Bunttontext:
u^*_d = 16 Bunttoene *o00y, o25y, ..., m50o*
Kontrastreduzierungsfaktor:
$c_R = 1.0$

FRS09_92a; adaptierte CIELAB-Daten

u^*_d	$L^*=L^*_a$	a^*_a	b^*_a	$C^*_{ab,a}$	$h^*_{ab,a}$	u^*_e
o00y	35.06	60.0	44.0	74.4	36	r16j
o25y	44.68	47.13	56.9	73.88	50	r37j
o50y	54.77	33.62	70.44	78.05	64	r58j
o75y	66.84	17.48	86.62	88.37	79	r79j
y00l	83.77	−5.17	109.32	109.44	93	j01g
y25l	70.71	−24.12	89.19	92.39	105	j18g
y50l	60.76	−38.55	73.86	83.32	118	j36g
y75l	52.23	−50.92	60.72	79.25	130	j53g
l00c	44.13	−62.67	48.24	79.09	142	j71g
l50c	49.64	−41.0	−3.61	41.16	185	g21b
c00v	52.66	−29.14	−31.99	43.27	228	g60b
c50v	38.87	−0.69	−41.67	41.68	269	g97b
v00m	14.15	50.3	−59.04	77.57	310	b34r
v50m	25.2	63.79	−46.89	79.17	324	b45r
m00o	37.37	78.64	−33.5	85.48	337	b57r
m50o	36.13	68.67	7.94	69.13	7	b83r

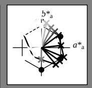

%Umfang
$u^*_{rel} = 109$
%Regularität
$g^*_{H,rel} = 31$
$g^*_{C,rel} = 40$

FRS09_92a; adaptierte CIELAB-Daten

Name	$L^*=L^*_a$	a^*_a	b^*_a	$C^*_{ab,a}$	$h^*_{ab,a}$
O_{Ma}	35.06	60.0	44.0	74.4	36
Y_{Ma}	83.77	−5.17	109.32	109.44	93
L_{Ma}	44.13	−62.67	48.24	79.09	142
C_{Ma}	52.66	−29.14	−31.99	43.27	228
V_{Ma}	14.15	50.3	−59.04	77.57	310
M_{Ma}	37.37	78.64	−33.5	85.48	337
N_{Ma}	8.58	0.0	0.0	0.0	0
W_{Ma}	92.02	0.0	0.0	0.0	0
R_{CIE}	39.92	58.74	27.99	65.07	25
J_{CIE}	81.26	−2.89	71.56	71.62	92
G_{CIE}	52.23	−42.42	13.6	44.55	162
B_{CIE}	30.57	1.41	−46.47	46.49	272

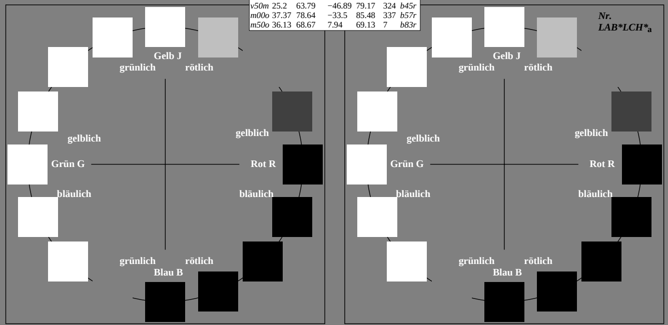

Ein und Ausgabe: Farbmetrisches Drucker-Reflektiv-System FRS09_92, L*=09_92 für relativen CIELAB-Buntton $h^* = lab^*h^* = h_{ab}/360 = 0.101$ u^*_d = *o00y*
Daten für jede Farbe:
*lab*tch** und *lab*icu**
Bunttontexte:
u^*_d = *o00y* u^*_e = *r16j*
Kontrastreduzierungsfaktor:
$c_R = 1.0$
Dreiecks-Helligkeit *t**

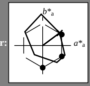

FRS09_92a; adaptierte CIELAB-Daten

u^*_d	$L^*=L^*_a$	a^*_a	b^*_a	$C^*_{ab,a}$	$h^*_{ab,a}$
O_{Ma}	35.06	60.0	44.0	74.4	36
Y_{Ma}	83.77	−5.17	109.32	109.44	93
L_{Ma}	44.13	−62.67	48.24	79.09	142
C_{Ma}	52.66	−29.14	−31.99	43.27	228
V_{Ma}	14.15	50.3	−59.04	77.57	310
M_{Ma}	37.37	78.64	−33.5	85.48	337
N_{Ma}	8.58	0.0	0.0	0.0	0
W_{Ma}	92.02	0.0	0.0	0.0	0
R_{CIE}	39.92	58.74	27.99	65.07	25
J_{CIE}	81.26	−2.89	71.56	71.62	92
G_{CIE}	52.23	−42.42	13.6	44.55	162
B_{CIE}	30.57	1.41	−46.47	46.49	272

Daten für Maximalfarbe (Ma):
$LAB^*LAB^*_{Ma}$: 35 60 44
$LAB^*LCH^*_{Ma}$: 35 74 36
$lab^*olv^*_{Ma}$: 1.0 0.0 0.0
$lab^*rgb^*_{Ma}$: 1.0 0.16 0.0
Dreiecks-Helligkeit *t**

%Umfang
$u^*_{rel} = 109$
%Regularität
$g^*_{H,rel} = 31$
$g^*_{C,rel} = 40$

FRS09_92a; adaptierte CIELAB-Daten

u^*_d	$L^*=L^*_a$	a^*_a	b^*_a	$C^*_{ab,a}$	$h^*_{ab,a}$	u^*_e
o00y	35.06	60.0	44.0	74.4	36	r16j
o25y	44.68	47.13	56.9	73.88	50	r37j
o50y	54.77	33.62	70.44	78.05	64	r58j
o75y	66.84	17.48	86.62	88.37	79	r79j
y00l	83.77	−5.17	109.32	109.44	93	j01g
y25l	70.71	−24.12	89.19	92.39	105	j18g
y50l	60.76	−38.55	73.86	83.32	118	j36g
y75l	52.23	−50.92	60.72	79.25	130	j53g
l00c	44.13	−62.67	48.24	79.09	142	j71g
l50c	49.64	−41.0	−3.61	41.16	185	g21b
c00v	52.66	−29.14	−31.99	43.27	228	g60b
c50v	38.87	−0.69	−41.67	41.68	269	g97b
v00m	14.15	50.3	−59.04	77.57	310	b34r
v50m	25.2	63.79	−46.89	79.17	324	b45r
m00o	37.37	78.64	−33.5	85.48	337	b57r
m50o	36.13	68.67	7.94	69.13	7	b83r

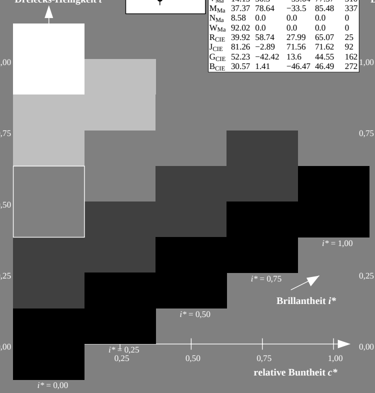

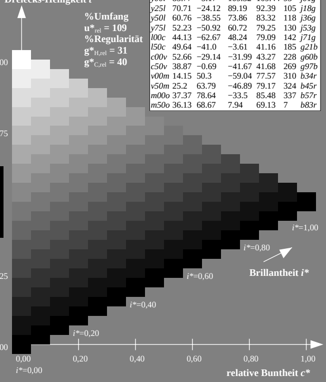

Ein und Ausgabe: Farbmetrisches Drucker-Reflektiv-System FRS09_92, L*=09_92 für relativen CIELAB-Buntton $h^* = lab^*h^* = h_{ab}/360 = 0.14$ u^*_d = *o25y*
Daten für jede Farbe:
*lab*tch** und *lab*icu**
Bunttontexte:
u^*_d = *o25y* u^*_e = *r37j*
Kontrastreduzierungsfaktor:
$c_R = 1.0$
Dreiecks-Helligkeit *t**

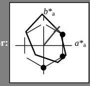

FRS09_92a; adaptierte CIELAB-Daten

u^*_d	$L^*=L^*_a$	a^*_a	b^*_a	$C^*_{ab,a}$	$h^*_{ab,a}$
O_{Ma}	35.06	60.0	44.0	74.4	36
Y_{Ma}	83.77	−5.17	109.32	109.44	93
L_{Ma}	44.13	−62.67	48.24	79.09	142
C_{Ma}	52.66	−29.14	−31.99	43.27	228
V_{Ma}	14.15	50.3	−59.04	77.57	310
M_{Ma}	37.37	78.64	−33.5	85.48	337
N_{Ma}	8.58	0.0	0.0	0.0	0
W_{Ma}	92.02	0.0	0.0	0.0	0
R_{CIE}	39.92	58.74	27.99	65.07	25
J_{CIE}	81.26	−2.89	71.56	71.62	92
G_{CIE}	52.23	−42.42	13.6	44.55	162
B_{CIE}	30.57	1.41	−46.47	46.49	272

Daten für Maximalfarbe (Ma):
$LAB^*LAB^*_{Ma}$: 45 47 57
$LAB^*LCH^*_{Ma}$: 45 74 50
$lab^*olv^*_{Ma}$: 1.0 0.25 0.0
$lab^*rgb^*_{Ma}$: 1.0 0.37 0.0
Dreiecks-Helligkeit *t**

%Umfang
$u^*_{rel} = 109$
%Regularität
$g^*_{H,rel} = 31$
$g^*_{C,rel} = 40$

FRS09_92a; adaptierte CIELAB-Daten

u^*_d	$L^*=L^*_a$	a^*_a	b^*_a	$C^*_{ab,a}$	$h^*_{ab,a}$	u^*_e
o00y	35.06	60.0	44.0	74.4	36	r16j
o25y	44.68	47.13	56.9	73.88	50	r37j
o50y	54.77	33.62	70.44	78.05	64	r58j
o75y	66.84	17.48	86.62	88.37	79	r79j
y00l	83.77	−5.17	109.32	109.44	93	j01g
y25l	70.71	−24.12	89.19	92.39	105	j18g
y50l	60.76	−38.55	73.86	83.32	118	j36g
y75l	52.23	−50.92	60.72	79.25	130	j53g
l00c	44.13	−62.67	48.24	79.09	142	j71g
l50c	49.64	−41.0	−3.61	41.16	185	g21b
c00v	52.66	−29.14	−31.99	43.27	228	g60b
c50v	38.87	−0.69	−41.67	41.68	269	g97b
v00m	14.15	50.3	−59.04	77.57	310	b34r
v50m	25.2	63.79	−46.89	79.17	324	b45r
m00o	37.37	78.64	−33.5	85.48	337	b57r
m50o	36.13	68.67	7.94	69.13	7	b83r

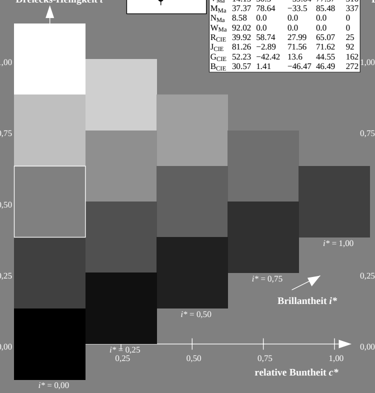

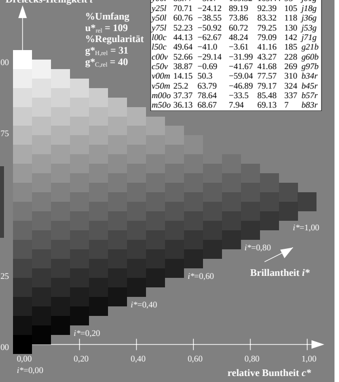

Ein und Ausgabe: Farbmetrisches Drucker-Reflektiv-System FRS09_92, L*=09_92 für relativen CIELAB-Buntton $h^* = lab^*h^* = h_{ab}/360 = 0.179$ u^*_d = *o50y*
Daten für jede Farbe:
*lab*tch** und *lab*icu**
Bunttontexte:
u^*_d = *o50y* u^*_e = *r58j*
Kontrastreduzierungsfaktor:
$c_R = 1.0$
Dreiecks-Helligkeit *t**

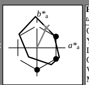

FRS09_92a; adaptierte CIELAB-Daten

u^*_d	$L^*=L^*_a$	a^*_a	b^*_a	$C^*_{ab,a}$	$h^*_{ab,a}$
O_{Ma}	35.06	60.0	44.0	74.4	36
Y_{Ma}	83.77	−5.17	109.32	109.44	93
L_{Ma}	44.13	−62.67	48.24	79.09	142
C_{Ma}	52.66	−29.14	−31.99	43.27	228
V_{Ma}	14.15	50.3	−59.04	77.57	310
M_{Ma}	37.37	78.64	−33.5	85.48	337
N_{Ma}	8.58	0.0	0.0	0.0	0
W_{Ma}	92.02	0.0	0.0	0.0	0
R_{CIE}	39.92	58.74	27.99	65.07	25
J_{CIE}	81.26	−2.89	71.56	71.62	92
G_{CIE}	52.23	−42.42	13.6	44.55	162
B_{CIE}	30.57	1.41	−46.47	46.49	272

Daten für Maximalfarbe (Ma):
$LAB^*LAB^*_{Ma}$: 55 34 70
$LAB^*LCH^*_{Ma}$: 55 78 64
$lab^*olv^*_{Ma}$: 1.0 0.5 0.0
$lab^*rgb^*_{Ma}$: 1.0 0.58 0.0
Dreiecks-Helligkeit *t**

%Umfang
$u^*_{rel} = 109$
%Regularität
$g^*_{H,rel} = 31$
$g^*_{C,rel} = 40$

FRS09_92a; adaptierte CIELAB-Daten

u^*_d	$L^*=L^*_a$	a^*_a	b^*_a	$C^*_{ab,a}$	$h^*_{ab,a}$	u^*_e
o00y	35.06	60.0	44.0	74.4	36	r16j
o25y	44.68	47.13	56.9	73.88	50	r37j
o50y	54.77	33.62	70.44	78.05	64	r58j
o75y	66.84	17.48	86.62	88.37	79	r79j
y00l	83.77	−5.17	109.32	109.44	93	j01g
y25l	70.71	−24.12	89.19	92.39	105	j18g
y50l	60.76	−38.55	73.86	83.32	118	j36g
y75l	52.23	−50.92	60.72	79.25	130	j53g
l00c	44.13	−62.67	48.24	79.09	142	j71g
l50c	49.64	−41.0	−3.61	41.16	185	g21b
c00v	52.66	−29.14	−31.99	43.27	228	g60b
c50v	38.87	−0.69	−41.67	41.68	269	g97b
v00m	14.15	50.3	−59.04	77.57	310	b34r
v50m	25.2	63.79	−46.89	79.17	324	b45r
m00o	37.37	78.64	−33.5	85.48	337	b57r
m50o	36.13	68.67	7.94	69.13	7	b83r

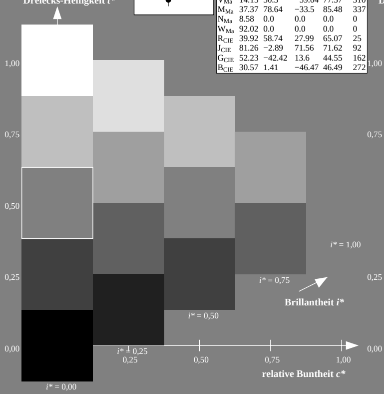

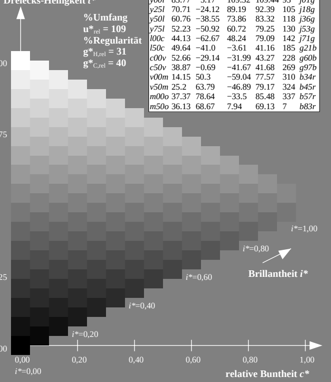

Ein und Ausgabe: Farbmetrisches Drucker-Reflektiv-System FRS09_92, L*=09_92 für relativen CIELAB-Buntton $h^* = lab^*h^* = h_{ab}/360 = 0.218$ u^*_d = *o75y*
Daten für jede Farbe:
*lab*tch** und *lab*icu**
Bunttontexte:
u^*_d = *o75y* u^*_e = *r79j*
Kontrastreduzierungsfaktor:
$c_R = 1.0$
Dreiecks-Helligkeit *t**

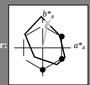

FRS09_92a; adaptierte CIELAB-Daten

u^*_d	$L^*=L^*_a$	a^*_a	b^*_a	$C^*_{ab,a}$	$h^*_{ab,a}$
O_{Ma}	35.06	60.0	44.0	74.4	36
Y_{Ma}	83.77	−5.17	109.32	109.44	93
L_{Ma}	44.13	−62.67	48.24	79.09	142
C_{Ma}	52.66	−29.14	−31.99	43.27	228
V_{Ma}	14.15	50.3	−59.04	77.57	310
M_{Ma}	37.37	78.64	−33.5	85.48	337
N_{Ma}	8.58	0.0	0.0	0.0	0
W_{Ma}	92.02	0.0	0.0	0.0	0
R_{CIE}	39.92	58.74	27.99	65.07	25
J_{CIE}	81.26	−2.89	71.56	71.62	92
G_{CIE}	52.23	−42.42	13.6	44.55	162
B_{CIE}	30.57	1.41	−46.47	46.49	272

Daten für Maximalfarbe (Ma):
$LAB^*LAB^*_{Ma}$: 67 17 87
$LAB^*LCH^*_{Ma}$: 67 88 78
$lab^*olv^*_{Ma}$: 1.0 0.75 0.0
$lab^*rgb^*_{Ma}$: 1.0 0.79 0.0
Dreiecks-Helligkeit *t**

%Umfang
$u^*_{rel} = 109$
%Regularität
$g^*_{H,rel} = 31$
$g^*_{C,rel} = 40$

FRS09_92a; adaptierte CIELAB-Daten

u^*_d	$L^*=L^*_a$	a^*_a	b^*_a	$C^*_{ab,a}$	$h^*_{ab,a}$	u^*_e
o00y	35.06	60.0	44.0	74.4	36	r16j
o25y	44.68	47.13	56.9	73.88	50	r37j
o50y	54.77	33.62	70.44	78.05	64	r58j
o75y	66.84	17.48	86.62	88.37	79	r79j
y00l	83.77	−5.17	109.32	109.44	93	j01g
y25l	70.71	−24.12	89.19	92.39	105	j18g
y50l	60.76	−38.55	73.86	83.32	118	j36g
y75l	52.23	−50.92	60.72	79.25	130	j53g
l00c	44.13	−62.67	48.24	79.09	142	j71g
l50c	49.64	−41.0	−3.61	41.16	185	g21b
c00v	52.66	−29.14	−31.99	43.27	228	g60b
c50v	38.87	−0.69	−41.67	41.68	269	g97b
v00m	14.15	50.3	−59.04	77.57	310	b34r
v50m	25.2	63.79	−46.89	79.17	324	b45r
m00o	37.37	78.64	−33.5	85.48	337	b57r
m50o	36.13	68.67	7.94	69.13	7	b83r

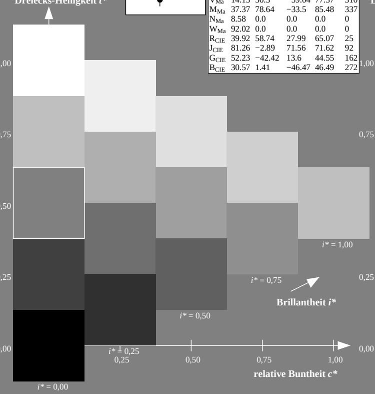

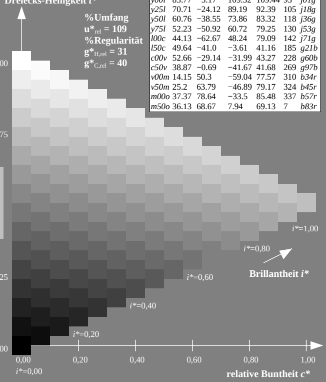

Ein und Ausgabe: Farbmetrisches Drucker-Reflektiv-System FRS09_92, L*=09_92 für relativen CIELAB-Buntton $h^* = lab^*h^* = h_{ab}/360 = 0.258$ u^*_d = *y00l*
Daten für jede Farbe:
*lab*tch** und *lab*icu**
Bunttontexte:
u^*_d = *y00l* u^*_e = *j01g*
Kontrastreduzierungsfaktor:
$c_R = 1.0$
Dreiecks-Helligkeit *t**

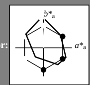

FRS09_92a; adaptierte CIELAB-Daten

u^*_d	$L^*=L^*_a$	a^*_a	b^*_a	$C^*_{ab,a}$	$h^*_{ab,a}$
O_{Ma}	35.06	60.0	44.0	74.4	36
Y_{Ma}	83.77	−5.17	109.32	109.44	93
L_{Ma}	44.13	−62.67	48.24	79.09	142
C_{Ma}	52.66	−29.14	−31.99	43.27	228
V_{Ma}	14.15	50.3	−59.04	77.57	310
M_{Ma}	37.37	78.64	−33.5	85.48	337
N_{Ma}	8.58	0.0	0.0	0.0	0
W_{Ma}	92.02	0.0	0.0	0.0	0
R_{CIE}	39.92	58.74	27.99	65.07	25
J_{CIE}	81.26	−2.89	71.56	71.62	92
G_{CIE}	52.23	−42.42	13.6	44.55	162
B_{CIE}	30.57	1.41	−46.47	46.49	272

Daten für Maximalfarbe (Ma):
$LAB^*LAB^*_{Ma}$: 84 −5 109
$LAB^*LCH^*_{Ma}$: 84 109 92
$lab^*olv^*_{Ma}$: 1.0 1.0 0.0
$lab^*rgb^*_{Ma}$: 0.99 1.0 0.0
Dreiecks-Helligkeit *t**

%Umfang
$u^*_{rel} = 109$
%Regularität
$g^*_{H,rel} = 31$
$g^*_{C,rel} = 40$

FRS09_92a; adaptierte CIELAB-Daten

u^*_d	$L^*=L^*_a$	a^*_a	b^*_a	$C^*_{ab,a}$	$h^*_{ab,a}$	u^*_e
o00y	35.06	60.0	44.0	74.4	36	r16j
o25y	44.68	47.13	56.9	73.88	50	r37j
o50y	54.77	33.62	70.44	78.05	64	r58j
o75y	66.84	17.48	86.62	88.37	79	r79j
y00l	83.77	−5.17	109.32	109.44	93	j01g
y25l	70.71	−24.12	89.19	92.39	105	j18g
y50l	60.76	−38.55	73.86	83.32	118	j36g
y75l	52.23	−50.92	60.72	79.25	130	j53g
l00c	44.13	−62.67	48.24	79.09	142	j71g
l50c	49.64	−41.0	−3.61	41.16	185	g21b
c00v	52.66	−29.14	−31.99	43.27	228	g60b
c50v	38.87	−0.69	−41.67	41.68	269	g97b
v00m	14.15	50.3	−59.04	77.57	310	b34r
v50m	25.2	63.79	−46.89	79.17	324	b45r
m00o	37.37	78.64	−33.5	85.48	337	b57r
m50o	36.13	68.67	7.94	69.13	7	b83r

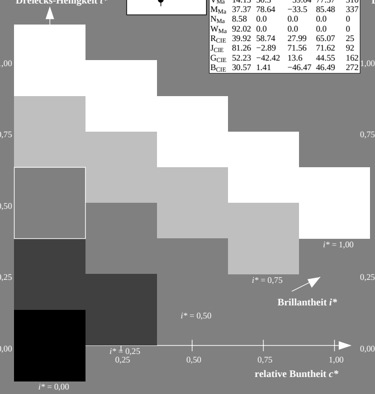

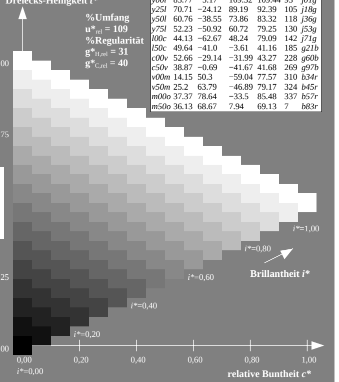

Ein und Ausgabe: Farbmetrisches Drucker-Reflektiv-System FRS09_92, L*=09_92 für relativen CIELAB-Buntton $h^* = lab^*h^* = h_{ab}/360 = 0.292$ u^*_d = *y25l*
Daten für jede Farbe:
*lab*tch** und *lab*icu**
Bunttontexte:
u^*_d = *y25l* u^*_e = *j18g*
Kontrastreduzierungsfaktor:
$c_R = 1.0$
Dreiecks-Helligkeit *t**

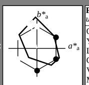

FRS09_92a; adaptierte CIELAB-Daten

u^*_d	$L^*=L^*_a$	a^*_a	b^*_a	$C^*_{ab,a}$	$h^*_{ab,a}$
O_{Ma}	35.06	60.0	44.0	74.4	36
Y_{Ma}	83.77	−5.17	109.32	109.44	93
L_{Ma}	44.13	−62.67	48.24	79.09	142
C_{Ma}	52.66	−29.14	−31.99	43.27	228
V_{Ma}	14.15	50.3	−59.04	77.57	310
M_{Ma}	37.37	78.64	−33.5	85.48	337
N_{Ma}	8.58	0.0	0.0	0.0	0
W_{Ma}	92.02	0.0	0.0	0.0	0
R_{CIE}	39.92	58.74	27.99	65.07	25
J_{CIE}	81.26	−2.89	71.56	71.62	92
G_{CIE}	52.23	−42.42	13.6	44.55	162
B_{CIE}	30.57	1.41	−46.47	46.49	272

Daten für Maximalfarbe (Ma):
$LAB^*LAB^*_{Ma}$: 71 −24 89
$LAB^*LCH^*_{Ma}$: 71 92 105
$lab^*olv^*_{Ma}$: 0.75 1.0 0.0
$lab^*rgb^*_{Ma}$: 0.82 1.0 0.0
Dreiecks-Helligkeit *t**

%Umfang
$u^*_{rel} = 109$
%Regularität
$g^*_{H,rel} = 31$
$g^*_{C,rel} = 40$

FRS09_92a; adaptierte CIELAB-Daten

u^*_d	$L^*=L^*_a$	a^*_a	b^*_a	$C^*_{ab,a}$	$h^*_{ab,a}$	u^*_e
o00y	35.06	60.0	44.0	74.4	36	r16j
o25y	44.68	47.13	56.9	73.88	50	r37j
o50y	54.77	33.62	70.44	78.05	64	r58j
o75y	66.84	17.48	86.62	88.37	79	r79j
y00l	83.77	−5.17	109.32	109.44	93	j01g
y25l	70.71	−24.12	89.19	92.39	105	j18g
y50l	60.76	−38.55	73.86	83.32	118	j36g
y75l	52.23	−50.92	60.72	79.25	130	j53g
l00c	44.13	−62.67	48.24	79.09	142	j71g
l50c	49.64	−41.0	−3.61	41.16	185	g21b
c00v	52.66	−29.14	−31.99	43.27	228	g60b
c50v	38.87	−0.69	−41.67	41.68	269	g97b
v00m	14.15	50.3	−59.04	77.57	310	b34r
v50m	25.2	63.79	−46.89	79.17	324	b45r
m00o	37.37	78.64	−33.5	85.48	337	b57r
m50o	36.13	68.67	7.94	69.13	7	b83r

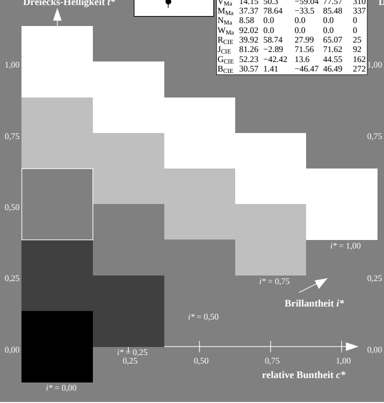

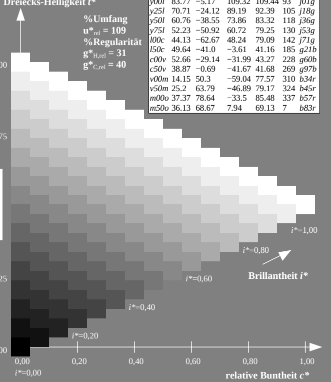

Ein und Ausgabe: Farbmetrisches Drucker-Reflektiv-System FRS09_92, L*=09_92 für relativen CIELAB-Buntton $h^* = lab^*h^* = h_{ab}/360 = 0.327$ u^*_d = *y50l*
Daten für jede Farbe:
*lab*tch** und *lab*icu**
Bunttontexte:
u^*_d = *y50l* u^*_e = *j36g*
Kontrastreduzierungsfaktor:
$c_R = 1.0$
Dreiecks-Helligkeit *t**

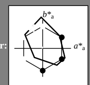

FRS09_92a; adaptierte CIELAB-Daten

u^*_d	$L^*=L^*_a$	a^*_a	b^*_a	$C^*_{ab,a}$	$h^*_{ab,a}$
O_{Ma}	35.06	60.0	44.0	74.4	36
Y_{Ma}	83.77	−5.17	109.32	109.44	93
L_{Ma}	44.13	−62.67	48.24	79.09	142
C_{Ma}	52.66	−29.14	−31.99	43.27	228
V_{Ma}	14.15	50.3	−59.04	77.57	310
M_{Ma}	37.37	78.64	−33.5	85.48	337
N_{Ma}	8.58	0.0	0.0	0.0	0
W_{Ma}	92.02	0.0	0.0	0.0	0
R_{CIE}	39.92	58.74	27.99	65.07	25
J_{CIE}	81.26	−2.89	71.56	71.62	92
G_{CIE}	52.23	−42.42	13.6	44.55	162
B_{CIE}	30.57	1.41	−46.47	46.49	272

Daten für Maximalfarbe (Ma):
$LAB^*LAB^*_{Ma}$: 61 −39 74
$LAB^*LCH^*_{Ma}$: 61 83 117
$lab^*olv^*_{Ma}$: 0.5 1.0 0.0
$lab^*rgb^*_{Ma}$: 0.64 1.0 0.0
Dreiecks-Helligkeit *t**

%Umfang
$u^*_{rel} = 109$
%Regularität
$g^*_{H,rel} = 31$
$g^*_{C,rel} = 40$

FRS09_92a; adaptierte CIELAB-Daten

u^*_d	$L^*=L^*_a$	a^*_a	b^*_a	$C^*_{ab,a}$	$h^*_{ab,a}$	u^*_e
o00y	35.06	60.0	44.0	74.4	36	r16j
o25y	44.68	47.13	56.9	73.88	50	r37j
o50y	54.77	33.62	70.44	78.05	64	r58j
o75y	66.84	17.48	86.62	88.37	79	r79j
y00l	83.77	−5.17	109.32	109.44	93	j01g
y25l	70.71	−24.12	89.19	92.39	105	j18g
y50l	60.76	−38.55	73.86	83.32	118	j36g
y75l	52.23	−50.92	60.72	79.25	130	j53g
l00c	44.13	−62.67	48.24	79.09	142	j71g
l50c	49.64	−41.0	−3.61	41.16	185	g21b
c00v	52.66	−29.14	−31.99	43.27	228	g60b
c50v	38.87	−0.69	−41.67	41.68	269	g97b
v00m	14.15	50.3	−59.04	77.57	310	b34r
v50m	25.2	63.79	−46.89	79.17	324	b45r
m00o	37.37	78.64	−33.5	85.48	337	b57r
m50o	36.13	68.67	7.94	69.13	7	b83r

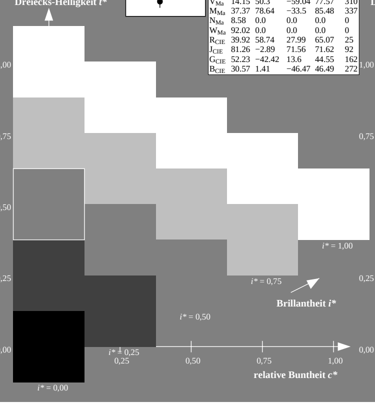

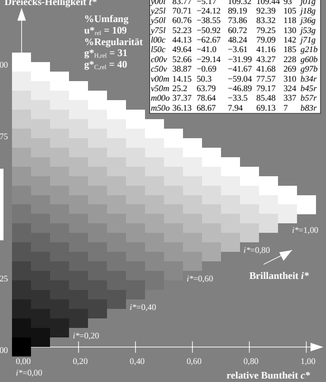

Ein und Ausgabe: Farbmetrisches Drucker-Reflektiv-System FRS09_92, L*=09_92 für relativen CIELAB-Buntton $h^* = lab^*h^* = h_{ab}/360 = 0.361$ u^*_d = *y75l*
Daten für jede Farbe:
*lab*tch** und *lab*icu**
Bunttontexte:
u^*_d = *y75l* u^*_e = *j53g*
Kontrastreduzierungsfaktor:
$c_R = 1.0$
Dreiecks-Helligkeit *t**

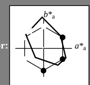

FRS09_92a; adaptierte CIELAB-Daten

u^*_d	$L^*=L^*_a$	a^*_a	b^*_a	$C^*_{ab,a}$	$h^*_{ab,a}$
O_{Ma}	35.06	60.0	44.0	74.4	36
Y_{Ma}	83.77	−5.17	109.32	109.44	93
L_{Ma}	44.13	−62.67	48.24	79.09	142
C_{Ma}	52.66	−29.14	−31.99	43.27	228
V_{Ma}	14.15	50.3	−59.04	77.57	310
M_{Ma}	37.37	78.64	−33.5	85.48	337
N_{Ma}	8.58	0.0	0.0	0.0	0
W_{Ma}	92.02	0.0	0.0	0.0	0
R_{CIE}	39.92	58.74	27.99	65.07	25
J_{CIE}	81.26	−2.89	71.56	71.62	92
G_{CIE}	52.23	−42.42	13.6	44.55	162
B_{CIE}	30.57	1.41	−46.47	46.49	272

Daten für Maximalfarbe (Ma):
$LAB^*LAB^*_{Ma}$: 52 −51 61
$LAB^*LCH^*_{Ma}$: 52 79 129
$lab^*olv^*_{Ma}$: 0.25 1.0 0.0
$lab^*rgb^*_{Ma}$: 0.46 1.0 0.0
Dreiecks-Helligkeit *t**

%Umfang
$u^*_{rel} = 109$
%Regularität
$g^*_{H,rel} = 31$
$g^*_{C,rel} = 40$

FRS09_92a; adaptierte CIELAB-Daten

u^*_d	$L^*=L^*_a$	a^*_a	b^*_a	$C^*_{ab,a}$	$h^*_{ab,a}$	u^*_e
o00y	35.06	60.0	44.0	74.4	36	r16j
o25y	44.68	47.13	56.9	73.88	50	r37j
o50y	54.77	33.62	70.44	78.05	64	r58j
o75y	66.84	17.48	86.62	88.37	79	r79j
y00l	83.77	−5.17	109.32	109.44	93	j01g
y25l	70.71	−24.12	89.19	92.39	105	j18g
y50l	60.76	−38.55	73.86	83.32	118	j36g
y75l	52.23	−50.92	60.72	79.25	130	j53g
l00c	44.13	−62.67	48.24	79.09	142	j71g
l50c	49.64	−41.0	−3.61	41.16	185	g21b
c00v	52.66	−29.14	−31.99	43.27	228	g60b
c50v	38.87	−0.69	−41.67	41.68	269	g97b
v00m	14.15	50.3	−59.04	77.57	310	b34r
v50m	25.2	63.79	−46.89	79.17	324	b45r
m00o	37.37	78.64	−33.5	85.48	337	b57r
m50o	36.13	68.67	7.94	69.13	7	b83r

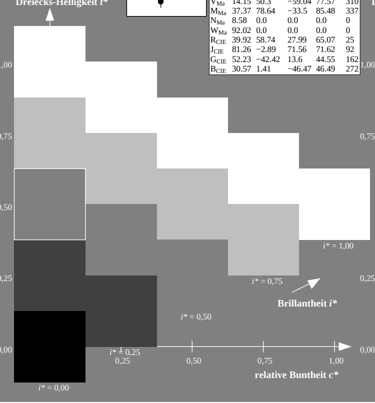

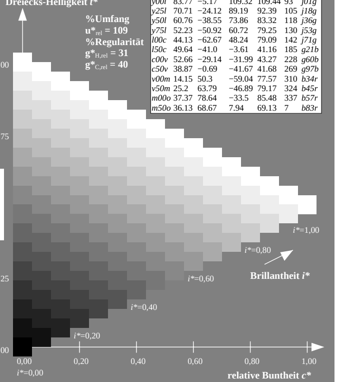

Ein und Ausgabe:
Farbmetrisches Drucker-Reflektiv-System FRS09_92a
Daten für jede Farbe:
u^*_d und Nummer *Nr.* = 00 .. 15
Geräte-Bunttontext:
u^*_d = 16 Bunttoene *o00y, o25y, ..., m50o*
Kontrastreduzierungsfaktor:
$c_R = 1.0$

FRS09_92a; adaptierte CIELAB-Daten

u^*_d	$L^*=L^*_a$	a^*_a	b^*_a	$C^*_{ab,a}$	$h^*_{ab,a}$	u^*_e
o00y	35.06	60.0	44.0	74.4	36	r16j
o25y	44.68	47.13	56.9	73.88	50	r37j
o50y	54.77	33.62	70.44	78.05	64	r58j
o75y	66.84	17.48	86.62	88.37	79	r79j
y00l	83.77	−5.17	109.32	109.44	93	j01g
y25l	70.71	−24.12	89.19	92.39	105	j18g
y50l	60.76	−38.55	73.86	83.32	118	j36g
y75l	52.23	−50.92	60.72	79.25	130	j53g
l00c	44.13	−62.67	48.24	79.09	142	j71g
l50c	49.64	−41.0	−3.61	41.16	185	g21b
c00v	52.66	−29.14	−31.99	43.27	228	g60b
c50v	38.87	−0.69	−41.67	41.68	269	g97b
v00m	14.15	50.3	−59.04	77.57	310	b34r
v50m	25.2	63.79	−46.89	79.17	324	b45r
m00o	37.37	78.64	−33.5	85.48	337	b57r
m50o	36.13	68.67	7.94	69.13	7	b83r

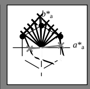

%Umfang
$u^*_{rel} = 109$
%Regularität
$g^*_{H,rel} = 31$
$g^*_{C,rel} = 40$

FRS09_92a; adaptierte CIELAB-Daten

Name	$L^*=L^*_a$	a^*_a	b^*_a	$C^*_{ab,a}$	$h^*_{ab,a}$
O_{Ma}	35.06	60.0	44.0	74.4	36
Y_{Ma}	83.77	−5.17	109.32	109.44	93
L_{Ma}	44.13	−62.67	48.24	79.09	142
C_{Ma}	52.66	−29.14	−31.99	43.27	228
V_{Ma}	14.15	50.3	−59.04	77.57	310
M_{Ma}	37.37	78.64	−33.5	85.48	337
N_{Ma}	8.58	0.0	0.0	0.0	0
W_{Ma}	92.02	0.0	0.0	0.0	0
R_{CIE}	39.92	58.74	27.99	65.07	25
J_{CIE}	81.26	−2.89	71.56	71.62	92
G_{CIE}	52.23	−42.42	13.6	44.55	162
B_{CIE}	30.57	1.41	−46.47	46.49	272

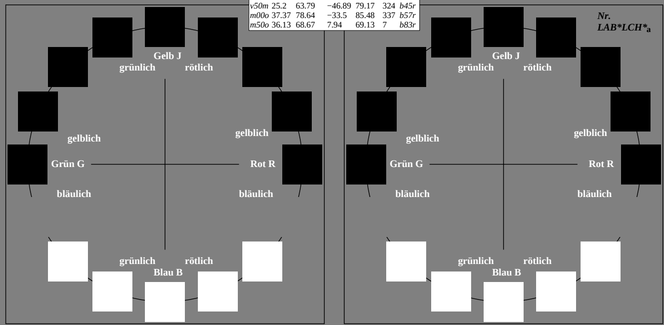

Ein und Ausgabe: Farbmetrisches Drucker-Reflektiv-System FRS09_92, L*=09_92 für relativen CIELAB-Buntton $h^* = lab^*h^* = h_{ab}/360 = 0.101$ $u^*_d = o00y$

Daten für jede Farbe:
lab*tch* und lab*icu*
Bunttontexte:
$u^*_d = o00y$ $u^*_e = r16j$
Kontrastreduzierungsfaktor:
$c_R = 1.0$
Dreiecks-Helligkeit t*

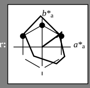

FRS09_92a; adaptierte CIELAB-Daten

u^*_d	$L^*=L^*_a$	a^*_a	b^*_a	$C^*_{ab,a}$	$h^*_{ab,a}$
O_{Ma}	35.06	60.0	44.0	74.4	36
Y_{Ma}	83.77	−5.17	109.32	109.44	93
L_{Ma}	44.13	−62.67	48.24	79.09	142
C_{Ma}	52.66	−29.14	−31.99	43.27	228
V_{Ma}	14.15	50.3	−59.04	77.57	310
M_{Ma}	37.37	78.64	−33.5	85.48	337
N_{Ma}	8.58	0.0	0.0	0.0	0
W_{Ma}	92.02	0.0	0.0	0.0	0
R_{CIE}	39.92	58.74	27.99	65.07	25
J_{CIE}	81.26	−2.89	71.56	71.62	92
G_{CIE}	52.23	−42.42	13.6	44.55	162
B_{CIE}	30.57	1.41	−46.47	46.49	272

Daten für Maximalfarbe (Ma):
$LAB^*LAB^*_{Ma}$: 35 60 44
$LAB^*LCH^*_{Ma}$: 35 74 36
$lab^*olv^*_{Ma}$: 1.0 0.0 0.0
$lab^*rgb^*_{Ma}$: 1.0 0.16 0.0
Dreiecks-Helligkeit t*
%Umfang
$u^*_{rel} = 109$
%Regularität
$g^*_{H,rel} = 31$
$g^*_{C,rel} = 40$

FRS09_92a; adaptierte CIELAB-Daten

u^*_d	$L^*=L^*_a$	a^*_a	b^*_a	$C^*_{ab,a}$	$h^*_{ab,a}$	u^*_e
o00y	35.06	60.0	44.0	74.4	36	r16j
o25y	44.68	47.13	56.9	73.88	50	r37j
o50y	54.77	33.62	70.44	78.05	64	r58j
o75y	66.84	17.48	86.62	88.37	79	r79j
y00l	83.77	−5.17	109.32	109.44	93	j01g
y25l	70.71	−24.12	89.19	92.39	105	j18g
y50l	60.76	−38.55	73.86	83.32	118	j36g
y75l	52.23	−50.92	60.72	79.25	130	j53g
l00c	44.13	−62.67	48.24	79.09	142	j71g
l50c	49.64	−41.0	−3.61	41.16	185	g21b
c00v	52.66	−29.14	−31.99	43.27	228	g60b
c50v	38.87	−0.69	−41.67	41.68	269	g97b
v00m	14.15	50.3	−59.04	77.57	310	b34r
v50m	25.2	63.79	−46.89	79.17	324	b45r
m00o	37.37	78.64	−33.5	85.48	337	b57r
m50o	36.13	68.67	7.94	69.13	7	b83r

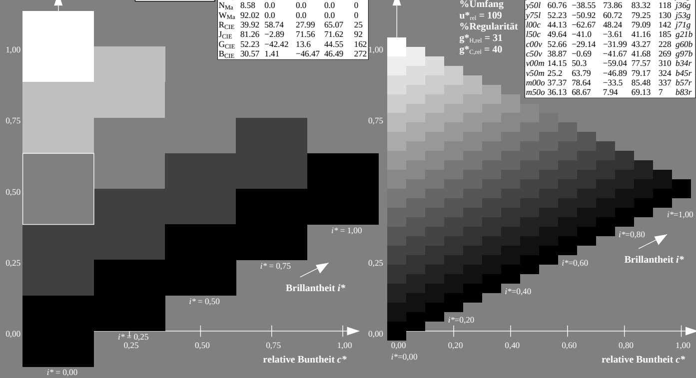

Ein und Ausgabe: Farbmetrisches Drucker-Reflektiv-System FRS09_92, L*=09_92 für relativen CIELAB-Buntton $h^* = lab^*h^* = h_{ab}/360 = 0.14$ $u^*_d = o25y$

Daten für jede Farbe:
lab*tch* und lab*icu*
Bunttontexte:
$u^*_d = o25y$ $u^*_e = r37j$
Kontrastreduzierungsfaktor:
$c_R = 1.0$
Dreiecks-Helligkeit t*

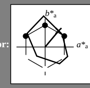

FRS09_92a; adaptierte CIELAB-Daten

u^*_d	$L^*=L^*_a$	a^*_a	b^*_a	$C^*_{ab,a}$	$h^*_{ab,a}$
O_{Ma}	35.06	60.0	44.0	74.4	36
Y_{Ma}	83.77	−5.17	109.32	109.44	93
L_{Ma}	44.13	−62.67	48.24	79.09	142
C_{Ma}	52.66	−29.14	−31.99	43.27	228
V_{Ma}	14.15	50.3	−59.04	77.57	310
M_{Ma}	37.37	78.64	−33.5	85.48	337
N_{Ma}	8.58	0.0	0.0	0.0	0
W_{Ma}	92.02	0.0	0.0	0.0	0
R_{CIE}	39.92	58.74	27.99	65.07	25
J_{CIE}	81.26	−2.89	71.56	71.62	92
G_{CIE}	52.23	−42.42	13.6	44.55	162
B_{CIE}	30.57	1.41	−46.47	46.49	272

Daten für Maximalfarbe (Ma):
$LAB^*LAB^*_{Ma}$: 45 47 57
$LAB^*LCH^*_{Ma}$: 45 74 50
$lab^*olv^*_{Ma}$: 1.0 0.25 0.0
$lab^*rgb^*_{Ma}$: 1.0 0.37 0.0
Dreiecks-Helligkeit t*
%Umfang
$u^*_{rel} = 109$
%Regularität
$g^*_{H,rel} = 31$
$g^*_{C,rel} = 40$

FRS09_92a; adaptierte CIELAB-Daten

u^*_d	$L^*=L^*_a$	a^*_a	b^*_a	$C^*_{ab,a}$	$h^*_{ab,a}$	u^*_e
o00y	35.06	60.0	44.0	74.4	36	r16j
o25y	44.68	47.13	56.9	73.88	50	r37j
o50y	54.77	33.62	70.44	78.05	64	r58j
o75y	66.84	17.48	86.62	88.37	79	r79j
y00l	83.77	−5.17	109.32	109.44	93	j01g
y25l	70.71	−24.12	89.19	92.39	105	j18g
y50l	60.76	−38.55	73.86	83.32	118	j36g
y75l	52.23	−50.92	60.72	79.25	130	j53g
l00c	44.13	−62.67	48.24	79.09	142	j71g
l50c	49.64	−41.0	−3.61	41.16	185	g21b
c00v	52.66	−29.14	−31.99	43.27	228	g60b
c50v	38.87	−0.69	−41.67	41.68	269	g97b
v00m	14.15	50.3	−59.04	77.57	310	b34r
v50m	25.2	63.79	−46.89	79.17	324	b45r
m00o	37.37	78.64	−33.5	85.48	337	b57r
m50o	36.13	68.67	7.94	69.13	7	b83r

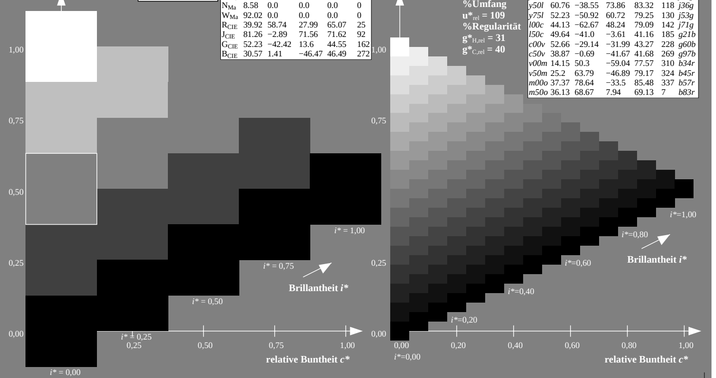

Ein und Ausgabe: Farbmetrisches Drucker-Reflektiv-System FRS09_92, L*=09_92 für relativen CIELAB-Buntton $h^* = lab^*h^* = h_{ab}/360 = 0.179$ $u^*_d = o50y$

Daten für jede Farbe:
lab*tch* und lab*icu*
Bunttontexte:
$u^*_d = o50y$ $u^*_e = r58j$
Kontrastreduzierungsfaktor:
$c_R = 1.0$
Dreiecks-Helligkeit t*

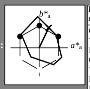

FRS09_92a; adaptierte CIELAB-Daten

u^*_d	$L^*=L^*_a$	a^*_a	b^*_a	$C^*_{ab,a}$	$h^*_{ab,a}$
O_{Ma}	35.06	60.0	44.0	74.4	36
Y_{Ma}	83.77	−5.17	109.32	109.44	93
L_{Ma}	44.13	−62.67	48.24	79.09	142
C_{Ma}	52.66	−29.14	−31.99	43.27	228
V_{Ma}	14.15	50.3	−59.04	77.57	310
M_{Ma}	37.37	78.64	−33.5	85.48	337
N_{Ma}	8.58	0.0	0.0	0.0	0
W_{Ma}	92.02	0.0	0.0	0.0	0
R_{CIE}	39.92	58.74	27.99	65.07	25
J_{CIE}	81.26	−2.89	71.56	71.62	92
G_{CIE}	52.23	−42.42	13.6	44.55	162
B_{CIE}	30.57	1.41	−46.47	46.49	272

Daten für Maximalfarbe (Ma):
$LAB^*LAB^*_{Ma}$: 55 34 70
$LAB^*LCH^*_{Ma}$: 55 78 64
$lab^*olv^*_{Ma}$: 1.0 0.5 0.0
$lab^*rgb^*_{Ma}$: 1.0 0.58 0.0
Dreiecks-Helligkeit t*
%Umfang
$u^*_{rel} = 109$
%Regularität
$g^*_{H,rel} = 31$
$g^*_{C,rel} = 40$

FRS09_92a; adaptierte CIELAB-Daten

u^*_d	$L^*=L^*_a$	a^*_a	b^*_a	$C^*_{ab,a}$	$h^*_{ab,a}$	u^*_e
o00y	35.06	60.0	44.0	74.4	36	r16j
o25y	44.68	47.13	56.9	73.88	50	r37j
o50y	54.77	33.62	70.44	78.05	64	r58j
o75y	66.84	17.48	86.62	88.37	79	r79j
y00l	83.77	−5.17	109.32	109.44	93	j01g
y25l	70.71	−24.12	89.19	92.39	105	j18g
y50l	60.76	−38.55	73.86	83.32	118	j36g
y75l	52.23	−50.92	60.72	79.25	130	j53g
l00c	44.13	−62.67	48.24	79.09	142	j71g
l50c	49.64	−41.0	−3.61	41.16	185	g21b
c00v	52.66	−29.14	−31.99	43.27	228	g60b
c50v	38.87	−0.69	−41.67	41.68	269	g97b
v00m	14.15	50.3	−59.04	77.57	310	b34r
v50m	25.2	63.79	−46.89	79.17	324	b45r
m00o	37.37	78.64	−33.5	85.48	337	b57r
m50o	36.13	68.67	7.94	69.13	7	b83r

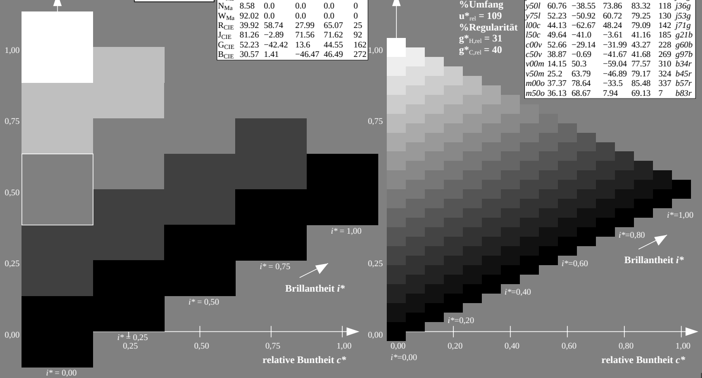

Ein und Ausgabe: Farbmetrisches Drucker-Reflektiv-System FRS09_92, L*=09_92 für relativen CIELAB-Buntton $h^* = lab^*h^* = h_{ab}/360 = 0.218$ $u^*_d = o75y$

Daten für jede Farbe:
lab*tch* und lab*icu*
Bunttontexte:
$u^*_d = o75y$ $u^*_e = r79j$
Kontrastreduzierungsfaktor:
$c_R = 1.0$
Dreiecks-Helligkeit t*

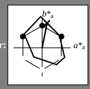

FRS09_92a; adaptierte CIELAB-Daten

u^*_d	$L^*=L^*_a$	a^*_a	b^*_a	$C^*_{ab,a}$	$h^*_{ab,a}$
O_{Ma}	35.06	60.0	44.0	74.4	36
Y_{Ma}	83.77	−5.17	109.32	109.44	93
L_{Ma}	44.13	−62.67	48.24	79.09	142
C_{Ma}	52.66	−29.14	−31.99	43.27	228
V_{Ma}	14.15	50.3	−59.04	77.57	310
M_{Ma}	37.37	78.64	−33.5	85.48	337
N_{Ma}	8.58	0.0	0.0	0.0	0
W_{Ma}	92.02	0.0	0.0	0.0	0
R_{CIE}	39.92	58.74	27.99	65.07	25
J_{CIE}	81.26	−2.89	71.56	71.62	92
G_{CIE}	52.23	−42.42	13.6	44.55	162
B_{CIE}	30.57	1.41	−46.47	46.49	272

Daten für Maximalfarbe (Ma):
$LAB^*LAB^*_{Ma}$: 67 17 87
$LAB^*LCH^*_{Ma}$: 67 88 78
$lab^*olv^*_{Ma}$: 1.0 0.75 0.0
$lab^*rgb^*_{Ma}$: 1.0 0.79 0.0
Dreiecks-Helligkeit t*
%Umfang
$u^*_{rel} = 109$
%Regularität
$g^*_{H,rel} = 31$
$g^*_{C,rel} = 40$

FRS09_92a; adaptierte CIELAB-Daten

u^*_d	$L^*=L^*_a$	a^*_a	b^*_a	$C^*_{ab,a}$	$h^*_{ab,a}$	u^*_e
o00y	35.06	60.0	44.0	74.4	36	r16j
o25y	44.68	47.13	56.9	73.88	50	r37j
o50y	54.77	33.62	70.44	78.05	64	r58j
o75y	66.84	17.48	86.62	88.37	79	r79j
y00l	83.77	−5.17	109.32	109.44	93	j01g
y25l	70.71	−24.12	89.19	92.39	105	j18g
y50l	60.76	−38.55	73.86	83.32	118	j36g
y75l	52.23	−50.92	60.72	79.25	130	j53g
l00c	44.13	−62.67	48.24	79.09	142	j71g
l50c	49.64	−41.0	−3.61	41.16	185	g21b
c00v	52.66	−29.14	−31.99	43.27	228	g60b
c50v	38.87	−0.69	−41.67	41.68	269	g97b
v00m	14.15	50.3	−59.04	77.57	310	b34r
v50m	25.2	63.79	−46.89	79.17	324	b45r
m00o	37.37	78.64	−33.5	85.48	337	b57r
m50o	36.13	68.67	7.94	69.13	7	b83r

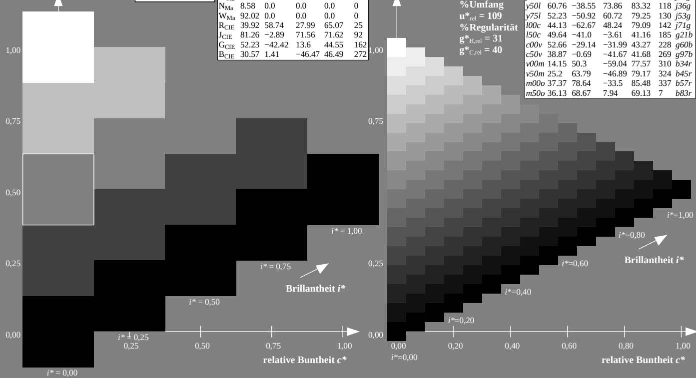

Ein und Ausgabe: Farbmetrisches Drucker-Reflektiv-System FRS09_92, L*=09_92 für relativen CIELAB-Buntton $h^* = lab^*h^* = h_{ab}/360 = 0.258$ $u^*_d = y00l$

Daten für jede Farbe:
lab*tch* und lab*icu*
Bunttontexte:
$u^*_d = y00l$ $u^*_e = j01g$
Kontrastreduzierungsfaktor:
$c_R = 1.0$
Dreiecks-Helligkeit t*

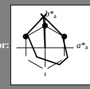

FRS09_92a; adaptierte CIELAB-Daten

u^*_d	$L^*=L^*_a$	a^*_a	b^*_a	$C^*_{ab,a}$	$h^*_{ab,a}$
O_{Ma}	35.06	60.0	44.0	74.4	36
Y_{Ma}	83.77	−5.17	109.32	109.44	93
L_{Ma}	44.13	−62.67	48.24	79.09	142
C_{Ma}	52.66	−29.14	−31.99	43.27	228
V_{Ma}	14.15	50.3	−59.04	77.57	310
M_{Ma}	37.37	78.64	−33.5	85.48	337
N_{Ma}	8.58	0.0	0.0	0.0	0
W_{Ma}	92.02	0.0	0.0	0.0	0
R_{CIE}	39.92	58.74	27.99	65.07	25
J_{CIE}	81.26	−2.89	71.56	71.62	92
G_{CIE}	52.23	−42.42	13.6	44.55	162
B_{CIE}	30.57	1.41	−46.47	46.49	272

Daten für Maximalfarbe (Ma):
$LAB^*LAB^*_{Ma}$: 84 −5 109
$LAB^*LCH^*_{Ma}$: 84 109 92
$lab^*olv^*_{Ma}$: 1.0 1.0 0.0
$lab^*rgb^*_{Ma}$: 0.99 1.0 0.0
Dreiecks-Helligkeit t*
%Umfang
$u^*_{rel} = 109$
%Regularität
$g^*_{H,rel} = 31$
$g^*_{C,rel} = 40$

FRS09_92a; adaptierte CIELAB-Daten

u^*_d	$L^*=L^*_a$	a^*_a	b^*_a	$C^*_{ab,a}$	$h^*_{ab,a}$	u^*_e
o00y	35.06	60.0	44.0	74.4	36	r16j
o25y	44.68	47.13	56.9	73.88	50	r37j
o50y	54.77	33.62	70.44	78.05	64	r58j
o75y	66.84	17.48	86.62	88.37	79	r79j
y00l	83.77	−5.17	109.32	109.44	93	j01g
y25l	70.71	−24.12	89.19	92.39	105	j18g
y50l	60.76	−38.55	73.86	83.32	118	j36g
y75l	52.23	−50.92	60.72	79.25	130	j53g
l00c	44.13	−62.67	48.24	79.09	142	j71g
l50c	49.64	−41.0	−3.61	41.16	185	g21b
c00v	52.66	−29.14	−31.99	43.27	228	g60b
c50v	38.87	−0.69	−41.67	41.68	269	g97b
v00m	14.15	50.3	−59.04	77.57	310	b34r
v50m	25.2	63.79	−46.89	79.17	324	b45r
m00o	37.37	78.64	−33.5	85.48	337	b57r
m50o	36.13	68.67	7.94	69.13	7	b83r

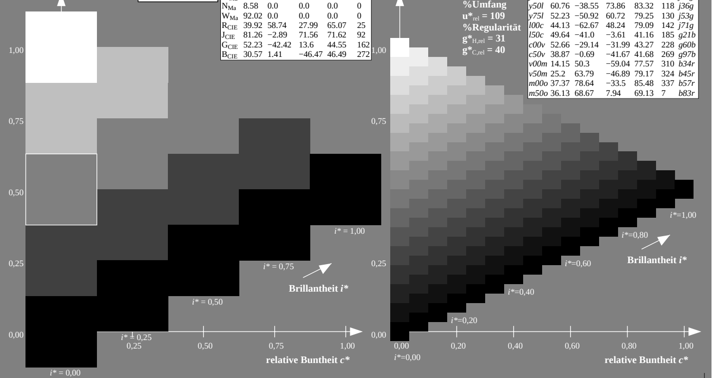

Ein und Ausgabe: Farbmetrisches Drucker-Reflektiv-System FRS09_92, L*=09_92 für relativen CIELAB-Buntton $h^* = lab^*h^* = h_{ab}/360 = 0.292$ $u^*_d = y25l$

Daten für jede Farbe:
lab*tch* und lab*icu*
Bunttontexte:
$u^*_d = y25l$ $u^*_e = j18g$
Kontrastreduzierungsfaktor:
$c_R = 1.0$
Dreiecks-Helligkeit t*

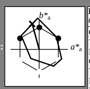

FRS09_92a; adaptierte CIELAB-Daten

u^*_d	$L^*=L^*_a$	a^*_a	b^*_a	$C^*_{ab,a}$	$h^*_{ab,a}$
O_{Ma}	35.06	60.0	44.0	74.4	36
Y_{Ma}	83.77	−5.17	109.32	109.44	93
L_{Ma}	44.13	−62.67	48.24	79.09	142
C_{Ma}	52.66	−29.14	−31.99	43.27	228
V_{Ma}	14.15	50.3	−59.04	77.57	310
M_{Ma}	37.37	78.64	−33.5	85.48	337
N_{Ma}	8.58	0.0	0.0	0.0	0
W_{Ma}	92.02	0.0	0.0	0.0	0
R_{CIE}	39.92	58.74	27.99	65.07	25
J_{CIE}	81.26	−2.89	71.56	71.62	92
G_{CIE}	52.23	−42.42	13.6	44.55	162
B_{CIE}	30.57	1.41	−46.47	46.49	272

Daten für Maximalfarbe (Ma):
$LAB^*LAB^*_{Ma}$: 71 −24 89
$LAB^*LCH^*_{Ma}$: 71 92 105
$lab^*olv^*_{Ma}$: 0.75 1.0 0.0
$lab^*rgb^*_{Ma}$: 0.82 1.0 0.0
Dreiecks-Helligkeit t*
%Umfang
$u^*_{rel} = 109$
%Regularität
$g^*_{H,rel} = 31$
$g^*_{C,rel} = 40$

FRS09_92a; adaptierte CIELAB-Daten

u^*_d	$L^*=L^*_a$	a^*_a	b^*_a	$C^*_{ab,a}$	$h^*_{ab,a}$	u^*_e
o00y	35.06	60.0	44.0	74.4	36	r16j
o25y	44.68	47.13	56.9	73.88	50	r37j
o50y	54.77	33.62	70.44	78.05	64	r58j
o75y	66.84	17.48	86.62	88.37	79	r79j
y00l	83.77	−5.17	109.32	109.44	93	j01g
y25l	70.71	−24.12	89.19	92.39	105	j18g
y50l	60.76	−38.55	73.86	83.32	118	j36g
y75l	52.23	−50.92	60.72	79.25	130	j53g
l00c	44.13	−62.67	48.24	79.09	142	j71g
l50c	49.64	−41.0	−3.61	41.16	185	g21b
c00v	52.66	−29.14	−31.99	43.27	228	g60b
c50v	38.87	−0.69	−41.67	41.68	269	g97b
v00m	14.15	50.3	−59.04	77.57	310	b34r
v50m	25.2	63.79	−46.89	79.17	324	b45r
m00o	37.37	78.64	−33.5	85.48	337	b57r
m50o	36.13	68.67	7.94	69.13	7	b83r

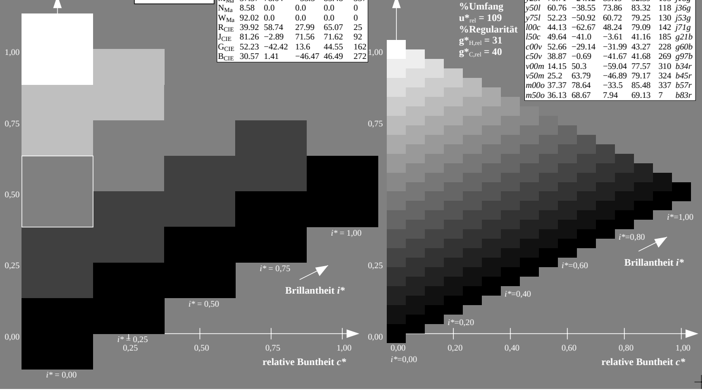

Ein und Ausgabe: Farbmetrisches Drucker-Reflektiv-System FRS09_92, L*=09_92 für relativen CIELAB-Buntton $h^* = lab^*h^* = h_{ab}/360 = 0.327$ $u^*_d = y50l$

Daten für jede Farbe:
lab*tch* und lab*icu*
Bunttontexte:
$u^*_d = y50l$ $u^*_e = j36g$
Kontrastreduzierungsfaktor:
$c_R = 1.0$
Dreiecks-Helligkeit t*

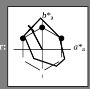

FRS09_92a; adaptierte CIELAB-Daten

u^*_d	$L^*=L^*_a$	a^*_a	b^*_a	$C^*_{ab,a}$	$h^*_{ab,a}$
O_{Ma}	35.06	60.0	44.0	74.4	36
Y_{Ma}	83.77	−5.17	109.32	109.44	93
L_{Ma}	44.13	−62.67	48.24	79.09	142
C_{Ma}	52.66	−29.14	−31.99	43.27	228
V_{Ma}	14.15	50.3	−59.04	77.57	310
M_{Ma}	37.37	78.64	−33.5	85.48	337
N_{Ma}	8.58	0.0	0.0	0.0	0
W_{Ma}	92.02	0.0	0.0	0.0	0
R_{CIE}	39.92	58.74	27.99	65.07	25
J_{CIE}	81.26	−2.89	71.56	71.62	92
G_{CIE}	52.23	−42.42	13.6	44.55	162
B_{CIE}	30.57	1.41	−46.47	46.49	272

Daten für Maximalfarbe (Ma):
$LAB^*LAB^*_{Ma}$: 61 −39 74
$LAB^*LCH^*_{Ma}$: 61 83 117
$lab^*olv^*_{Ma}$: 0.5 1.0 0.0
$lab^*rgb^*_{Ma}$: 0.64 1.0 0.0
Dreiecks-Helligkeit t*
%Umfang
$u^*_{rel} = 109$
%Regularität
$g^*_{H,rel} = 31$
$g^*_{C,rel} = 40$

FRS09_92a; adaptierte CIELAB-Daten

u^*_d	$L^*=L^*_a$	a^*_a	b^*_a	$C^*_{ab,a}$	$h^*_{ab,a}$	u^*_e
o00y	35.06	60.0	44.0	74.4	36	r16j
o25y	44.68	47.13	56.9	73.88	50	r37j
o50y	54.77	33.62	70.44	78.05	64	r58j
o75y	66.84	17.48	86.62	88.37	79	r79j
y00l	83.77	−5.17	109.32	109.44	93	j01g
y25l	70.71	−24.12	89.19	92.39	105	j18g
y50l	60.76	−38.55	73.86	83.32	118	j36g
y75l	52.23	−50.92	60.72	79.25	130	j53g
l00c	44.13	−62.67	48.24	79.09	142	j71g
l50c	49.64	−41.0	−3.61	41.16	185	g21b
c00v	52.66	−29.14	−31.99	43.27	228	g60b
c50v	38.87	−0.69	−41.67	41.68	269	g97b
v00m	14.15	50.3	−59.04	77.57	310	b34r
v50m	25.2	63.79	−46.89	79.17	324	b45r
m00o	37.37	78.64	−33.5	85.48	337	b57r
m50o	36.13	68.67	7.94	69.13	7	b83r

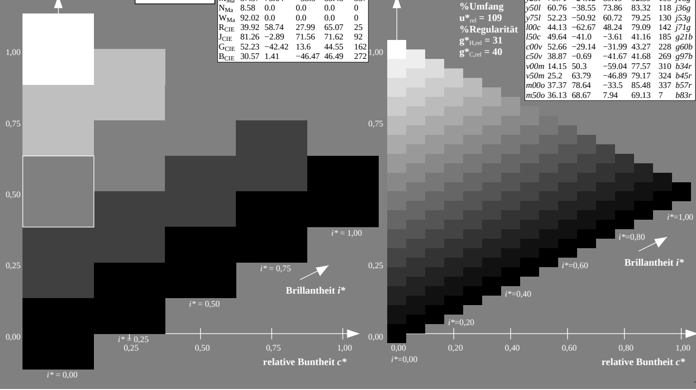

Ein und Ausgabe: Farbmetrisches Drucker-Reflektiv-System FRS09_92, L*=09_92 für relativen CIELAB-Buntton $h^* = lab^*h^* = h_{ab}/360 = 0.361$ $u^*_d = y75l$

Daten für jede Farbe:
lab*tch* und lab*icu*
Bunttontexte:
$u^*_d = y75l$ $u^*_e = j53g$
Kontrastreduzierungsfaktor:
$c_R = 1.0$
Dreiecks-Helligkeit t*

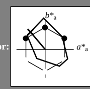

FRS09_92a; adaptierte CIELAB-Daten

u^*_d	$L^*=L^*_a$	a^*_a	b^*_a	$C^*_{ab,a}$	$h^*_{ab,a}$
O_{Ma}	35.06	60.0	44.0	74.4	36
Y_{Ma}	83.77	−5.17	109.32	109.44	93
L_{Ma}	44.13	−62.67	48.24	79.09	142
C_{Ma}	52.66	−29.14	−31.99	43.27	228
V_{Ma}	14.15	50.3	−59.04	77.57	310
M_{Ma}	37.37	78.64	−33.5	85.48	337
N_{Ma}	8.58	0.0	0.0	0.0	0
W_{Ma}	92.02	0.0	0.0	0.0	0
R_{CIE}	39.92	58.74	27.99	65.07	25
J_{CIE}	81.26	−2.89	71.56	71.62	92
G_{CIE}	52.23	−42.42	13.6	44.55	162
B_{CIE}	30.57	1.41	−46.47	46.49	272

Daten für Maximalfarbe (Ma):
$LAB^*LAB^*_{Ma}$: 52 −51 61
$LAB^*LCH^*_{Ma}$: 52 79 129
$lab^*olv^*_{Ma}$: 0.25 1.0 0.0
$lab^*rgb^*_{Ma}$: 0.46 1.0 0.0
Dreiecks-Helligkeit t*
%Umfang
$u^*_{rel} = 109$
%Regularität
$g^*_{H,rel} = 31$
$g^*_{C,rel} = 40$

FRS09_92a; adaptierte CIELAB-Daten
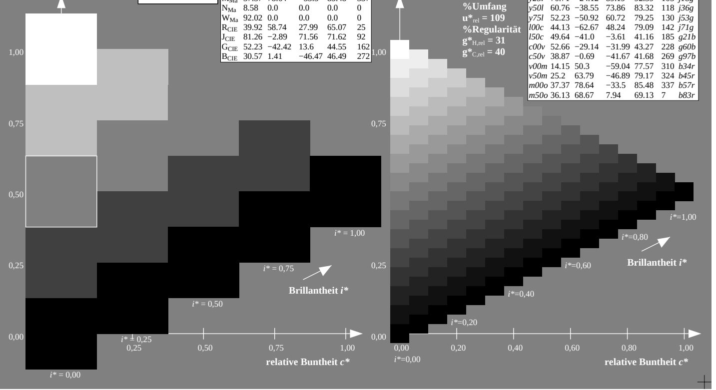
u^*_d	$L^*=L^*_a$	a^*_a	b^*_a	$C^*_{ab,a}$	$h^*_{ab,a}$	u^*_e
o00y	35.06	60.0	44.0	74.4	36	r16j
o25y	44.68	47.13	56.9	73.88	50	r37j
o50y	54.77	33.62	70.44	78.05	64	r58j
o75y	66.84	17.48	86.62	88.37	79	r79j
y00l	83.77	−5.17	109.32	109.44	93	j01g
y25l	70.71	−24.12	89.19	92.39	105	j18g
y50l	60.76	−38.55	73.86	83.32	118	j36g
y75l	52.23	−50.92	60.72	79.25	130	j53g
l00c	44.13	−62.67	48.24	79.09	142	j71g
l50c	49.64	−41.0	−3.61	41.16	185	g21b
c00v	52.66	−29.14	−31.99	43.27	228	g60b
c50v	38.87	−0.69	−41.67	41.68	269	g97b
v00m	14.15	50.3	−59.04	77.57	310	b34r
v50m	25.2	63.79	−46.89	79.17	324	b45r
m00o	37.37	78.64	−33.5	85.48	337	b57r
m50o	36.13	68.67	7.94	69.13	7	b83r